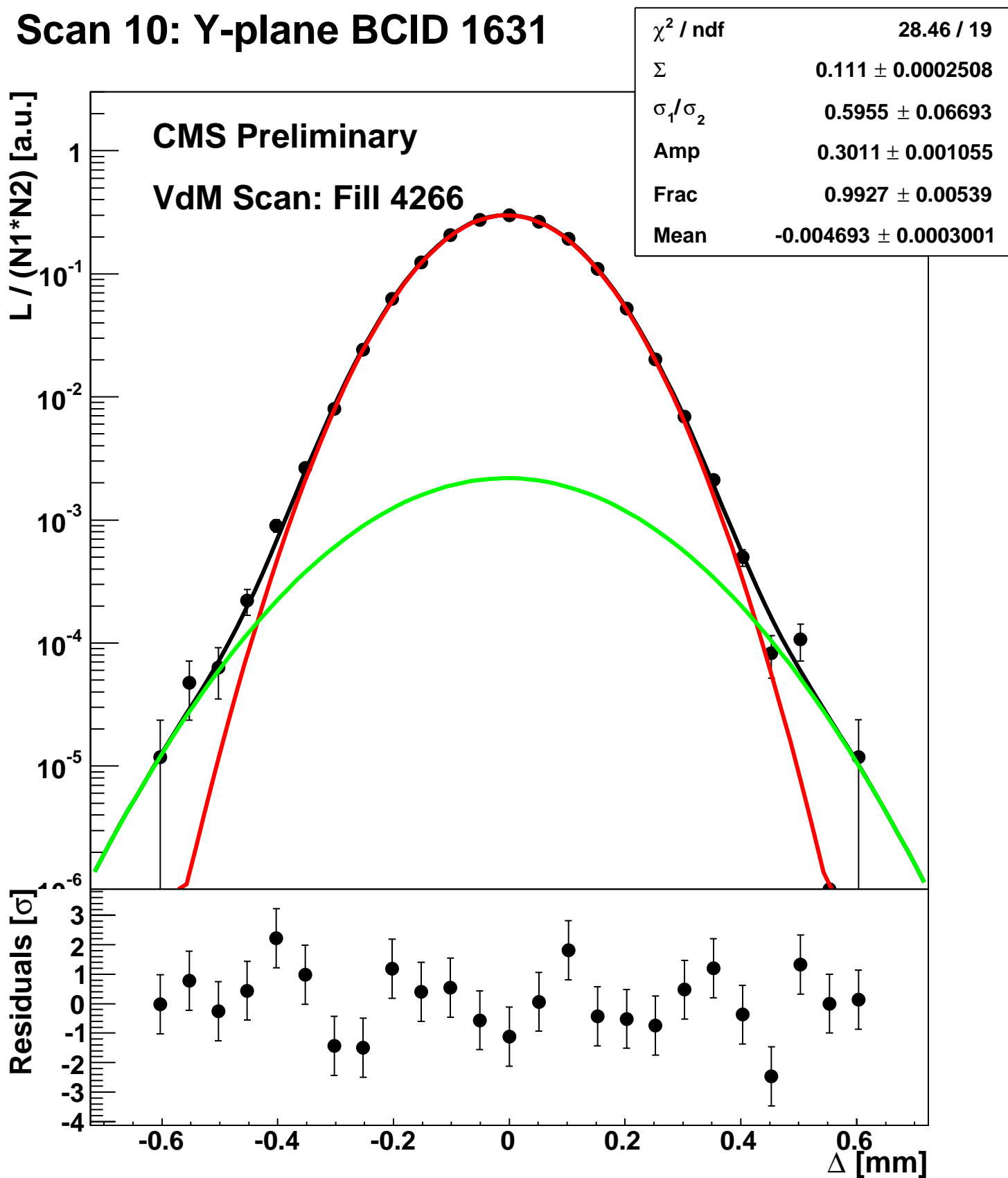
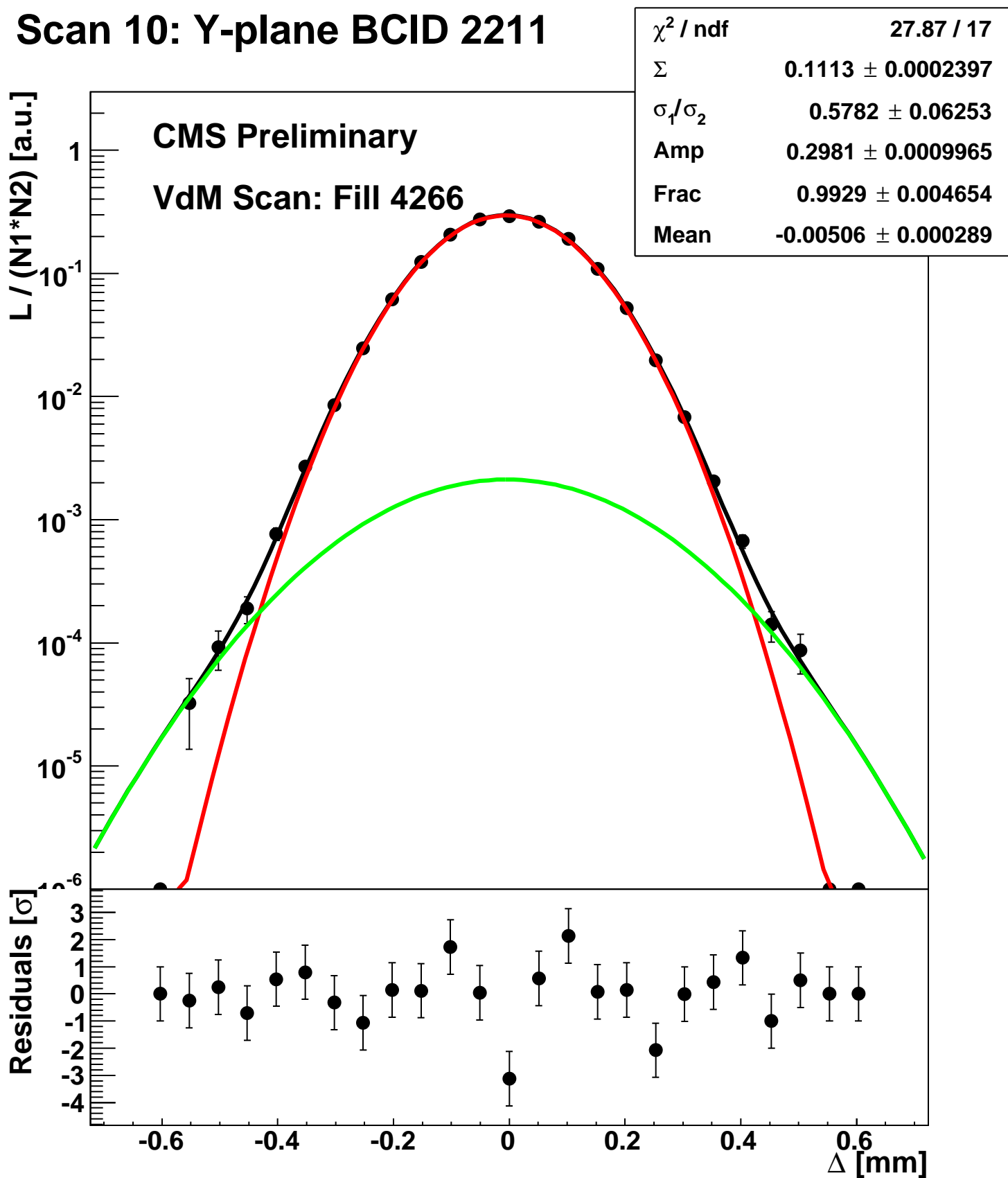


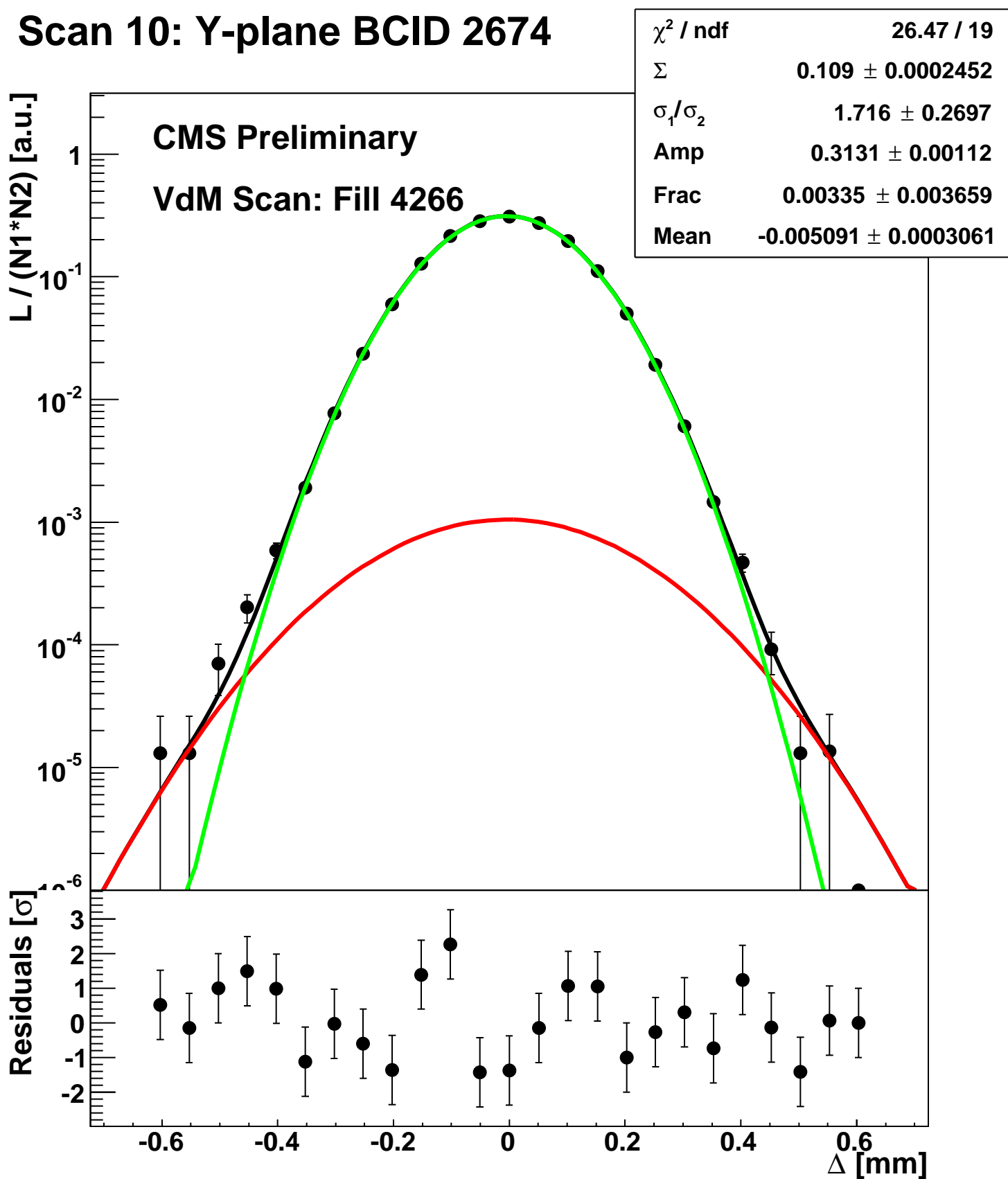
Scan 10: Y-plane BCID 1631



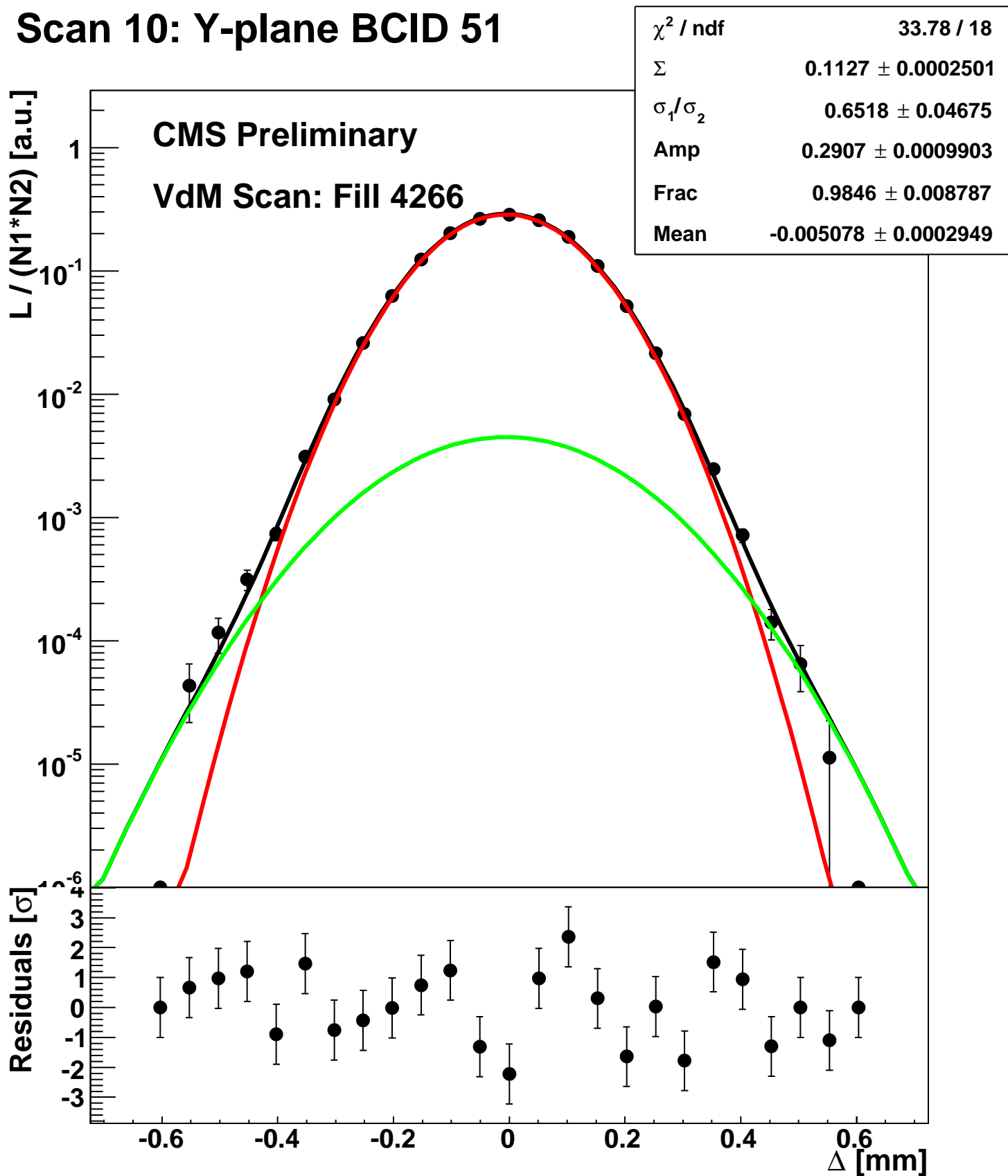
Scan 10: Y-plane BCID 2211



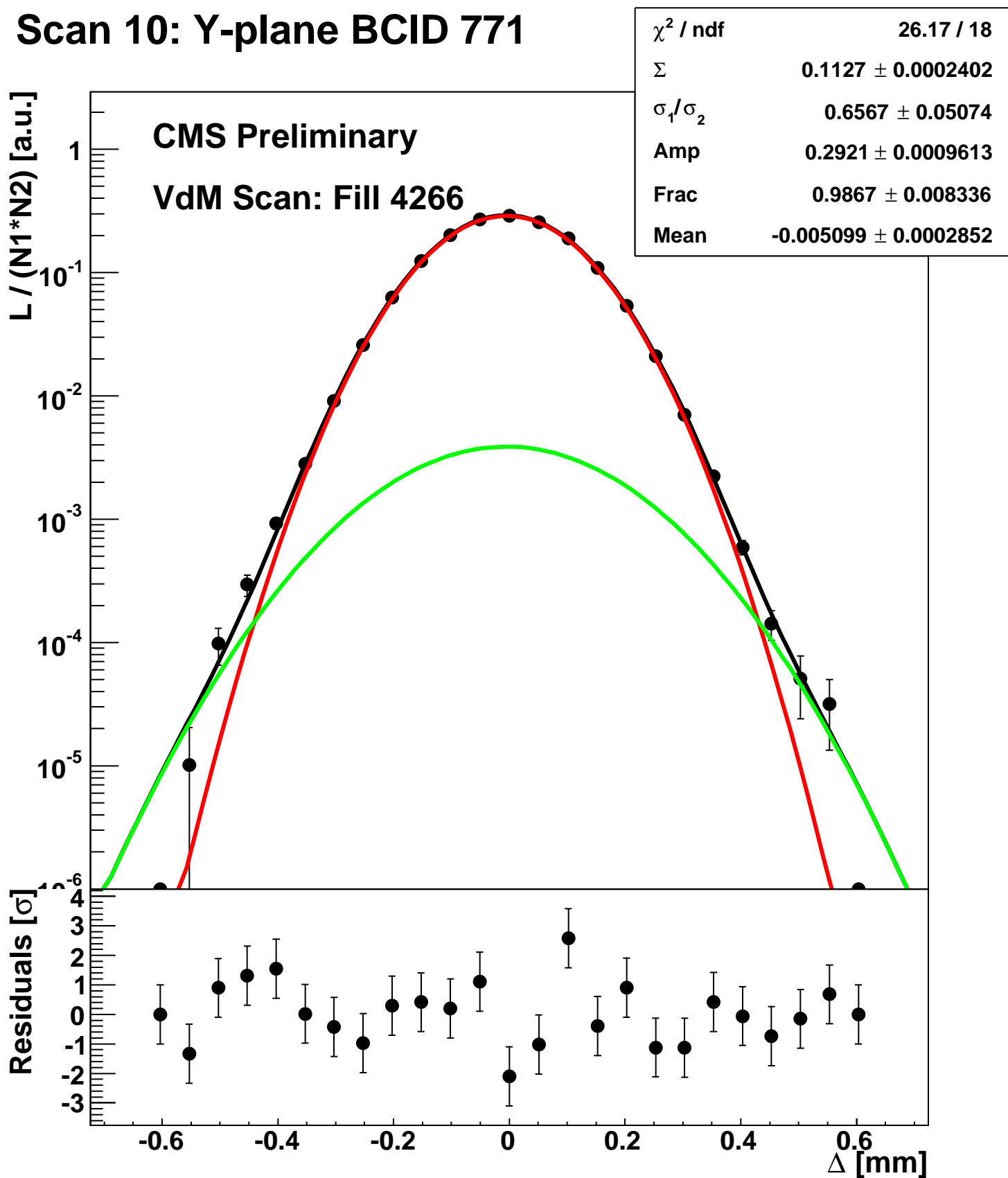
Scan 10: Y-plane BCID 2674



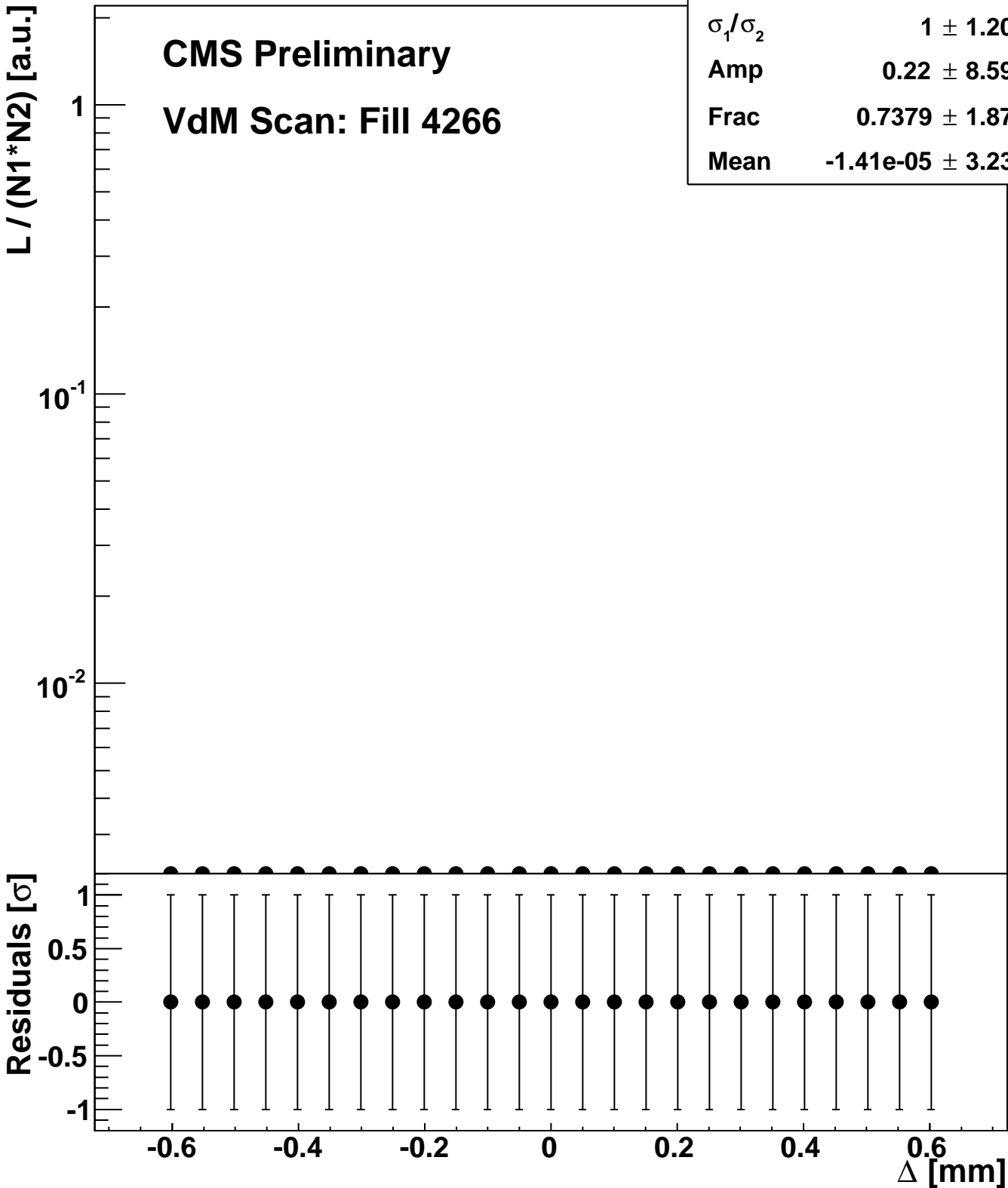
Scan 10: Y-plane BCID 51



Scan 10: Y-plane BCID 771

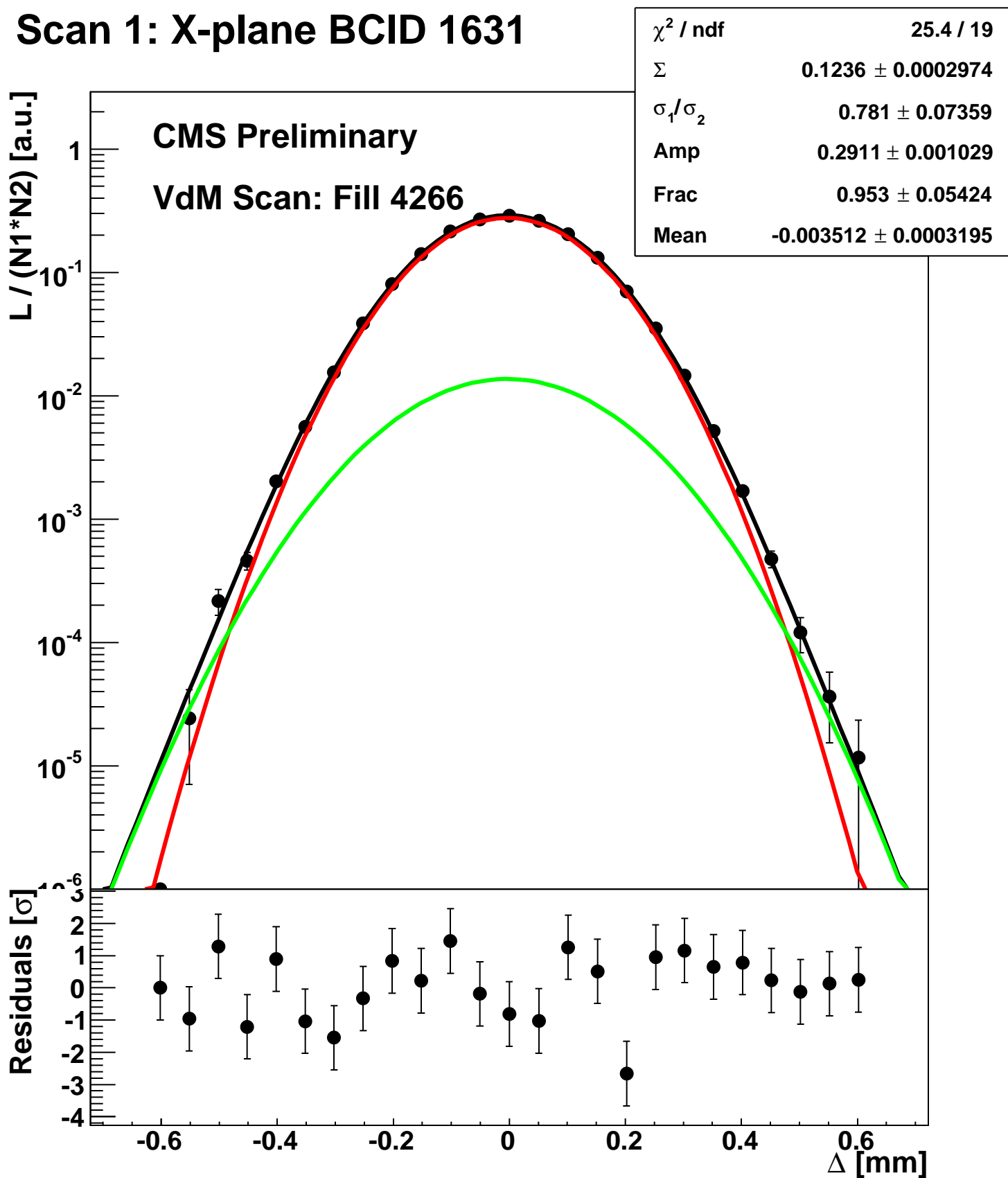


Scan 10: Y-plane BCID sum

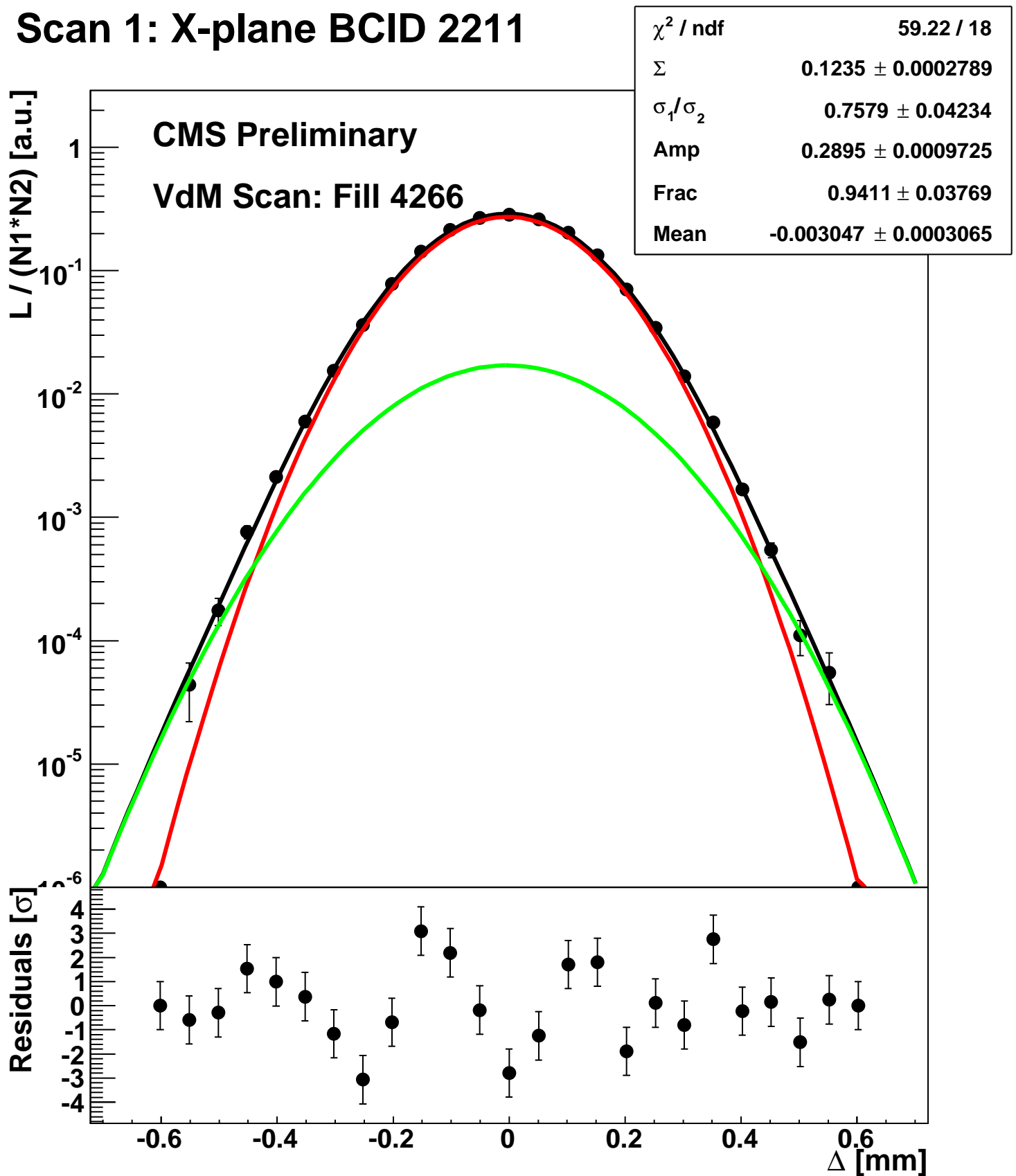


χ^2 / ndf	1.048e-12 / 20
Σ	1.08e-05 \pm 7.004e-08
σ_1 / σ_2	1 \pm 1.203e-06
Amp	0.22 \pm 8.595e-07
Frac	0.7379 \pm 1.872e-07
Mean	-1.41e-05 \pm 3.238e-07

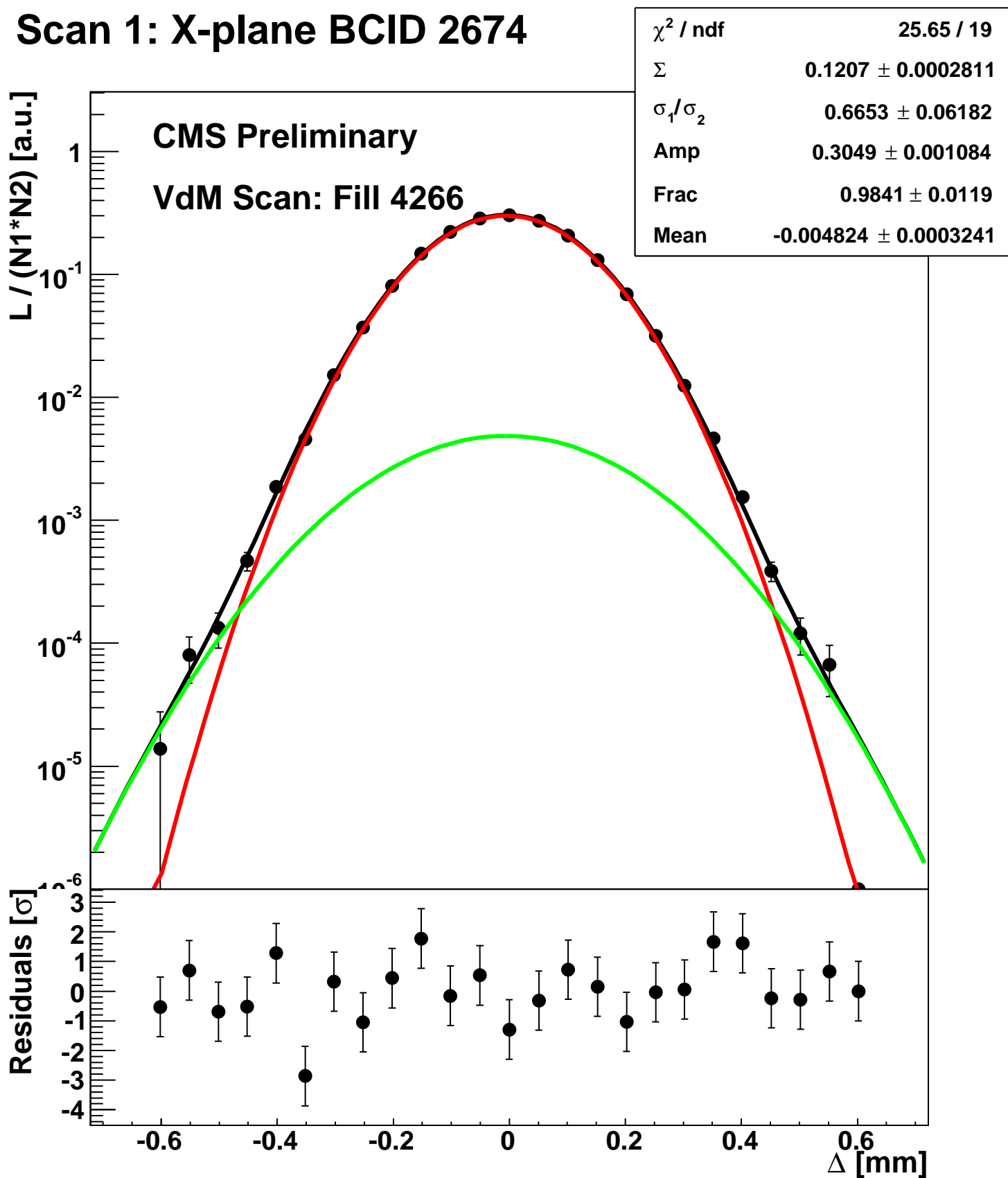
Scan 1: X-plane BCID 1631



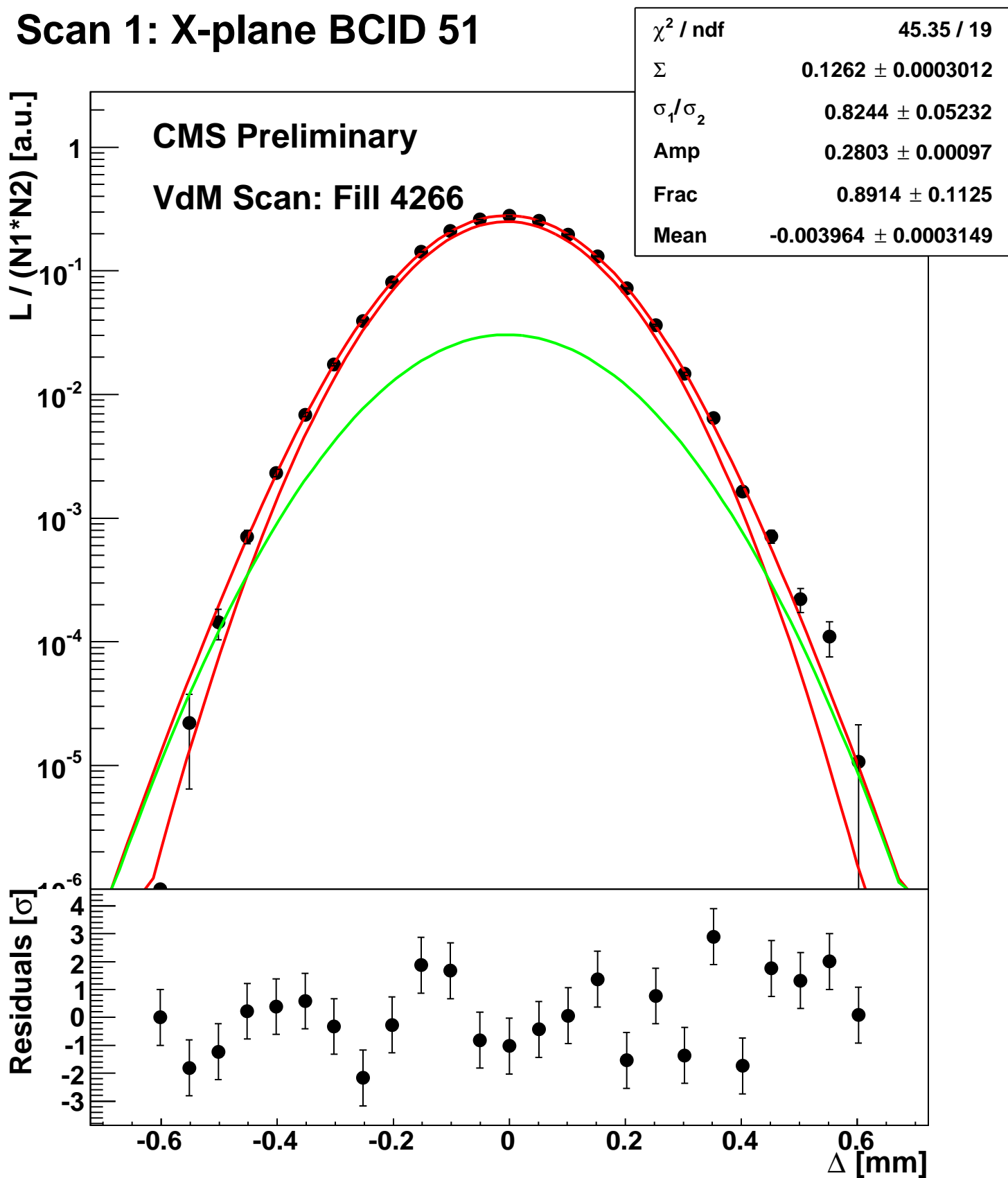
Scan 1: X-plane BCID 2211



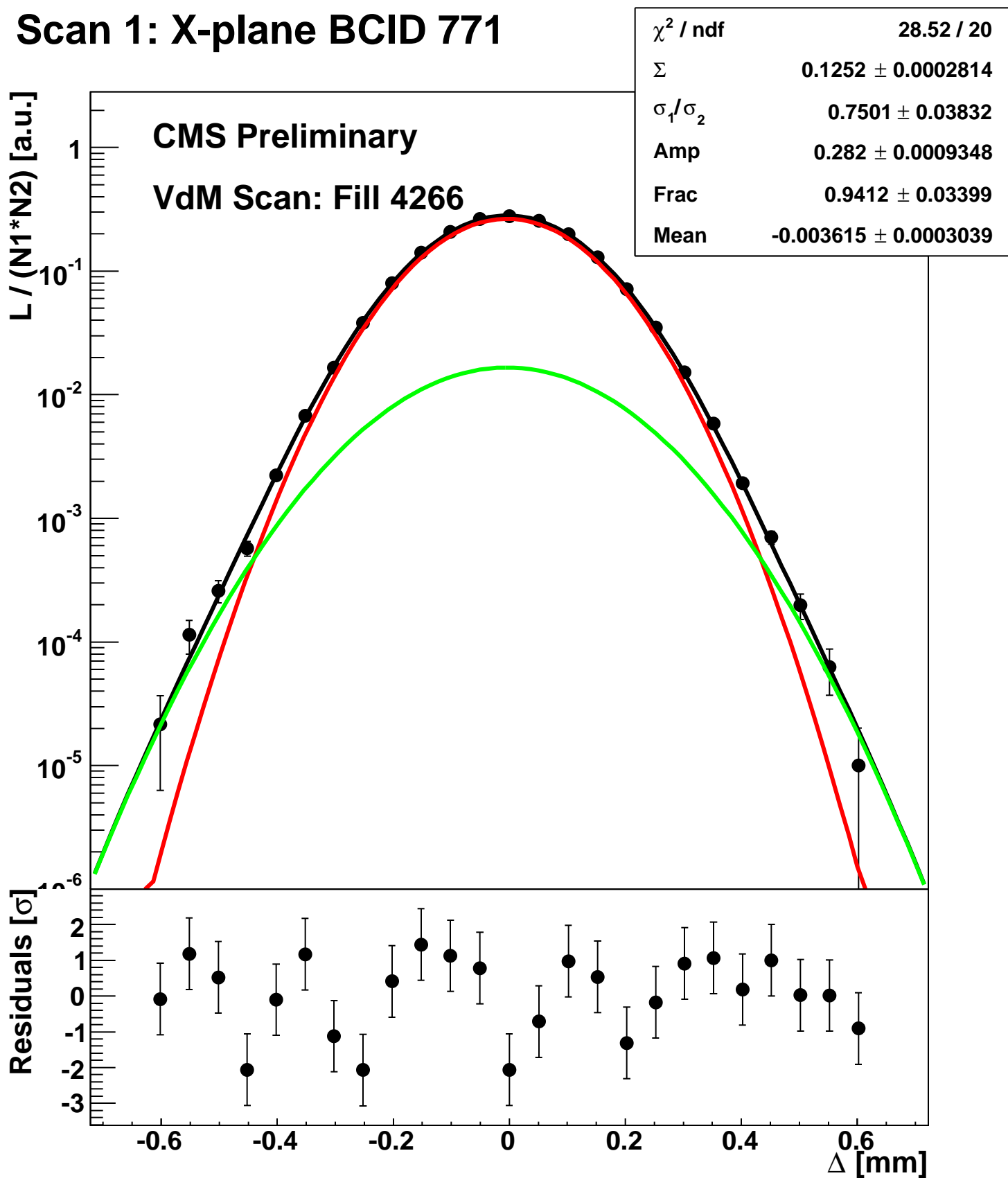
Scan 1: X-plane BCID 2674



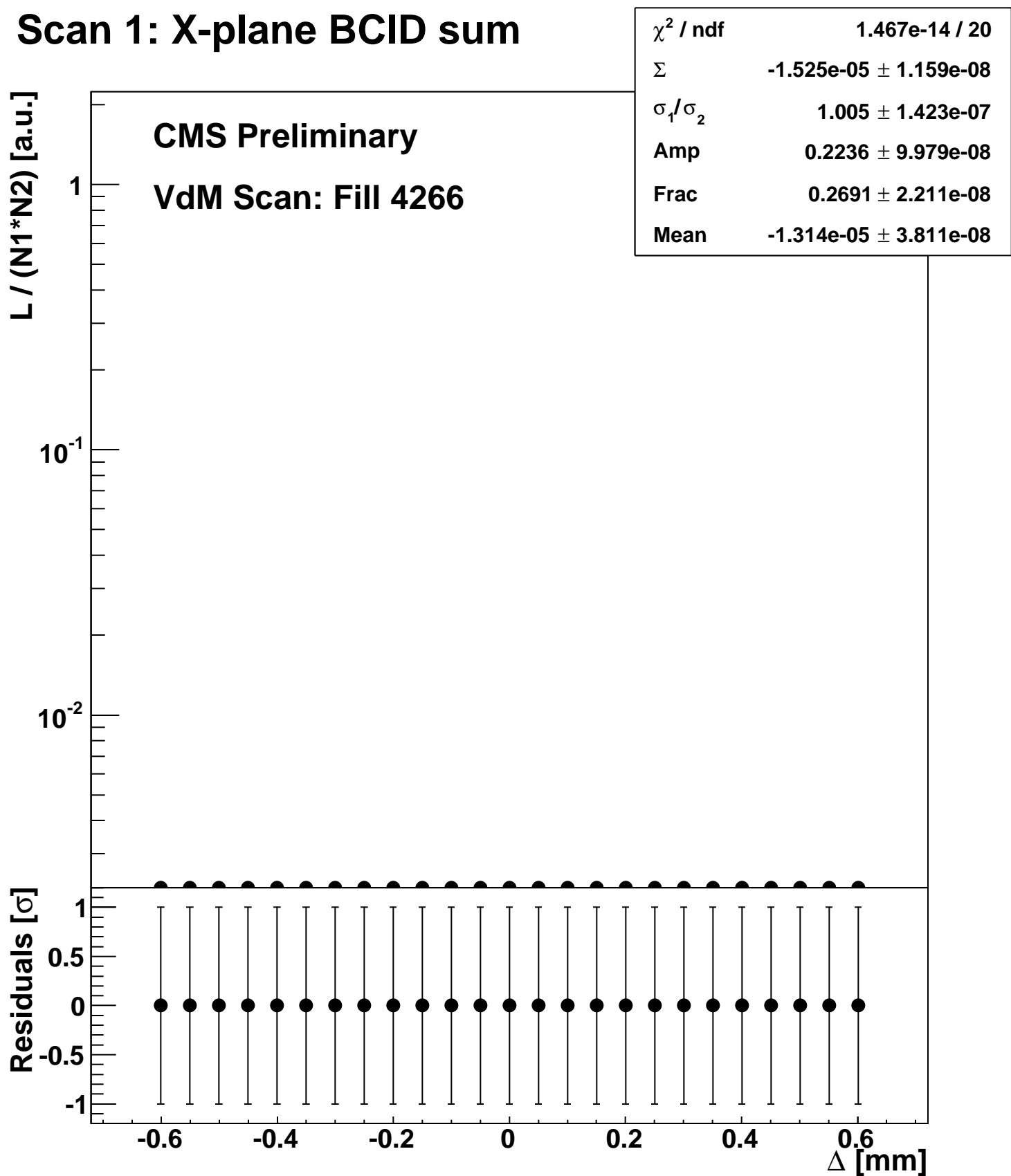
Scan 1: X-plane BCID 51



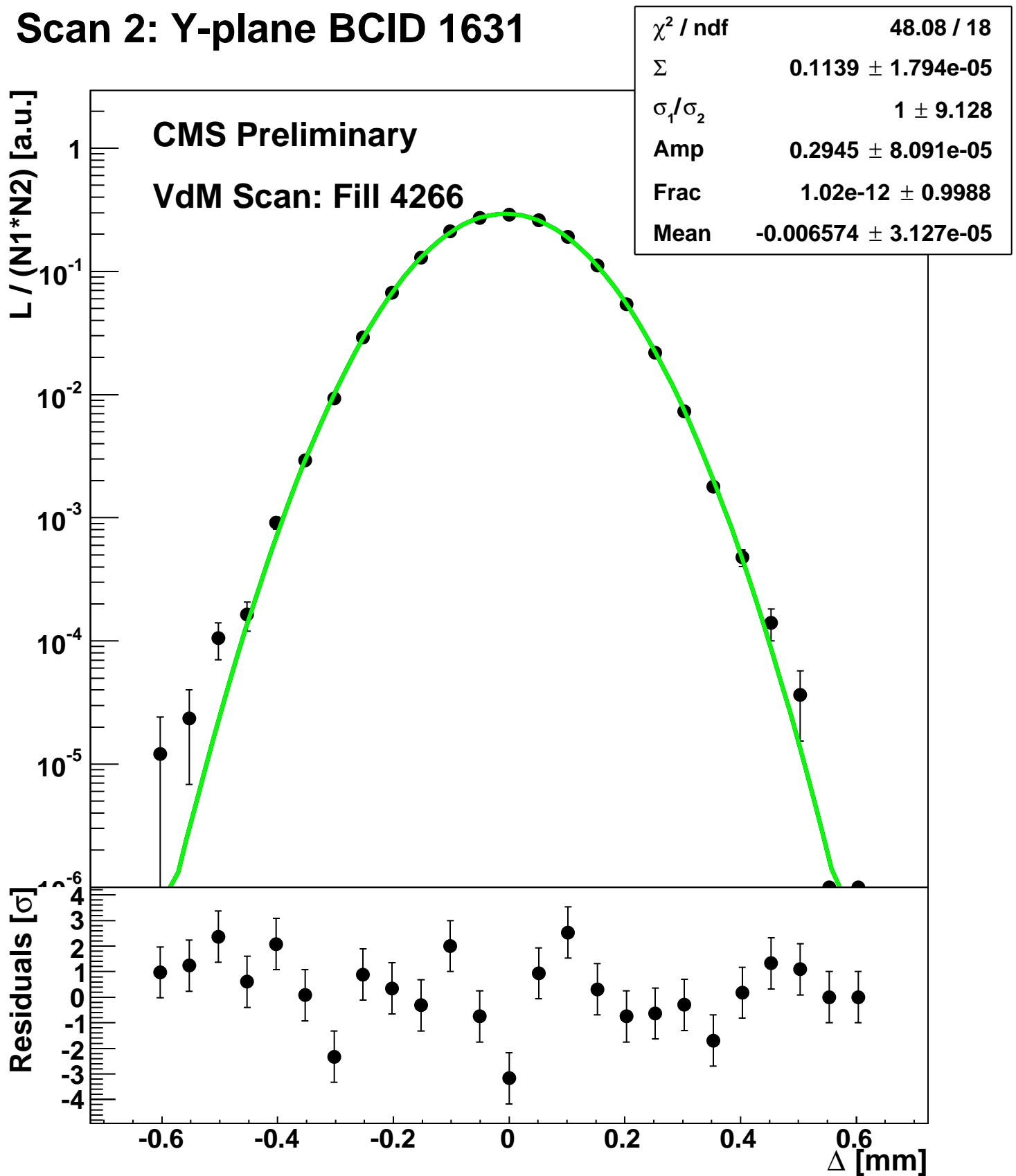
Scan 1: X-plane BCID 771



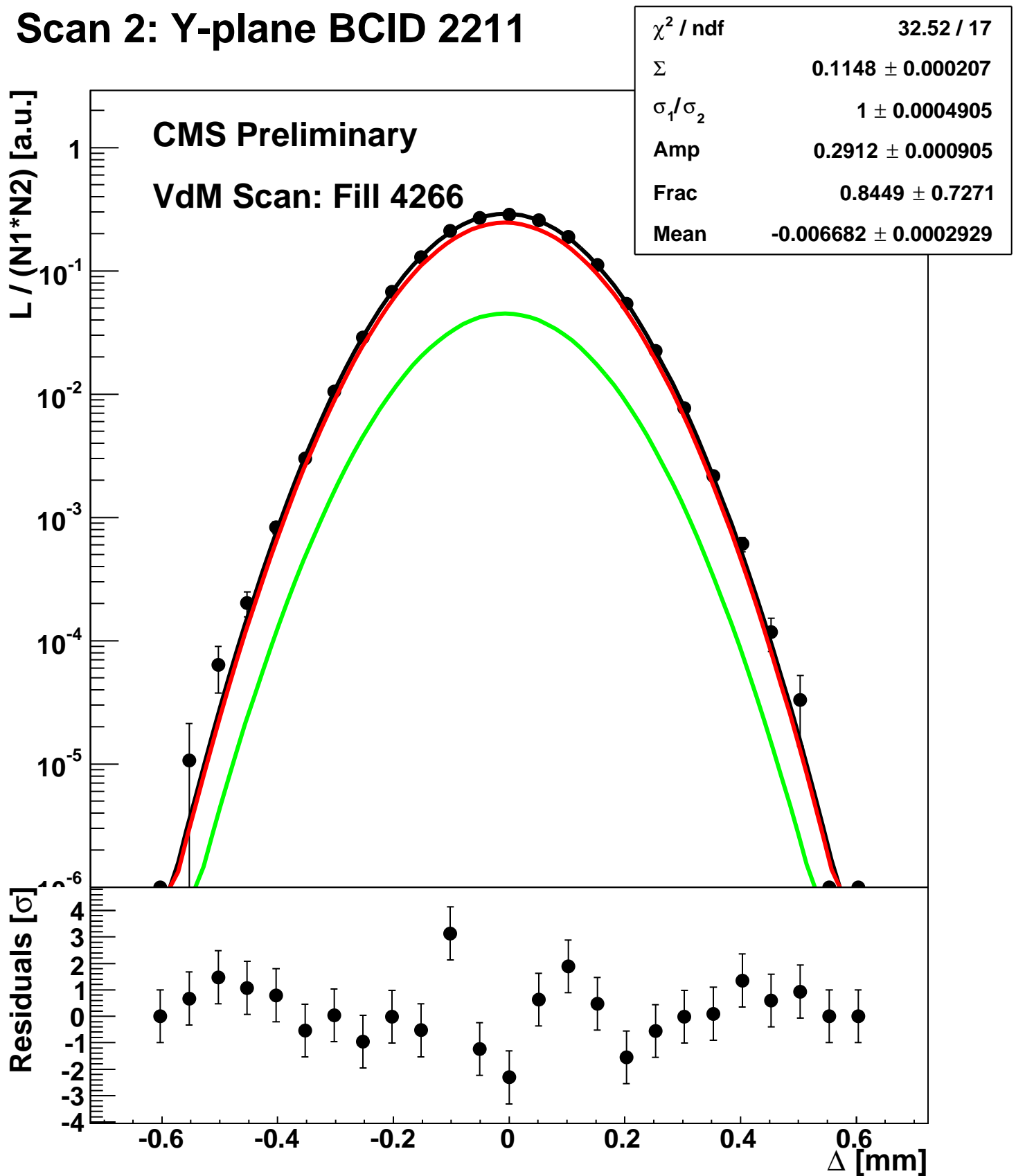
Scan 1: X-plane BCID sum



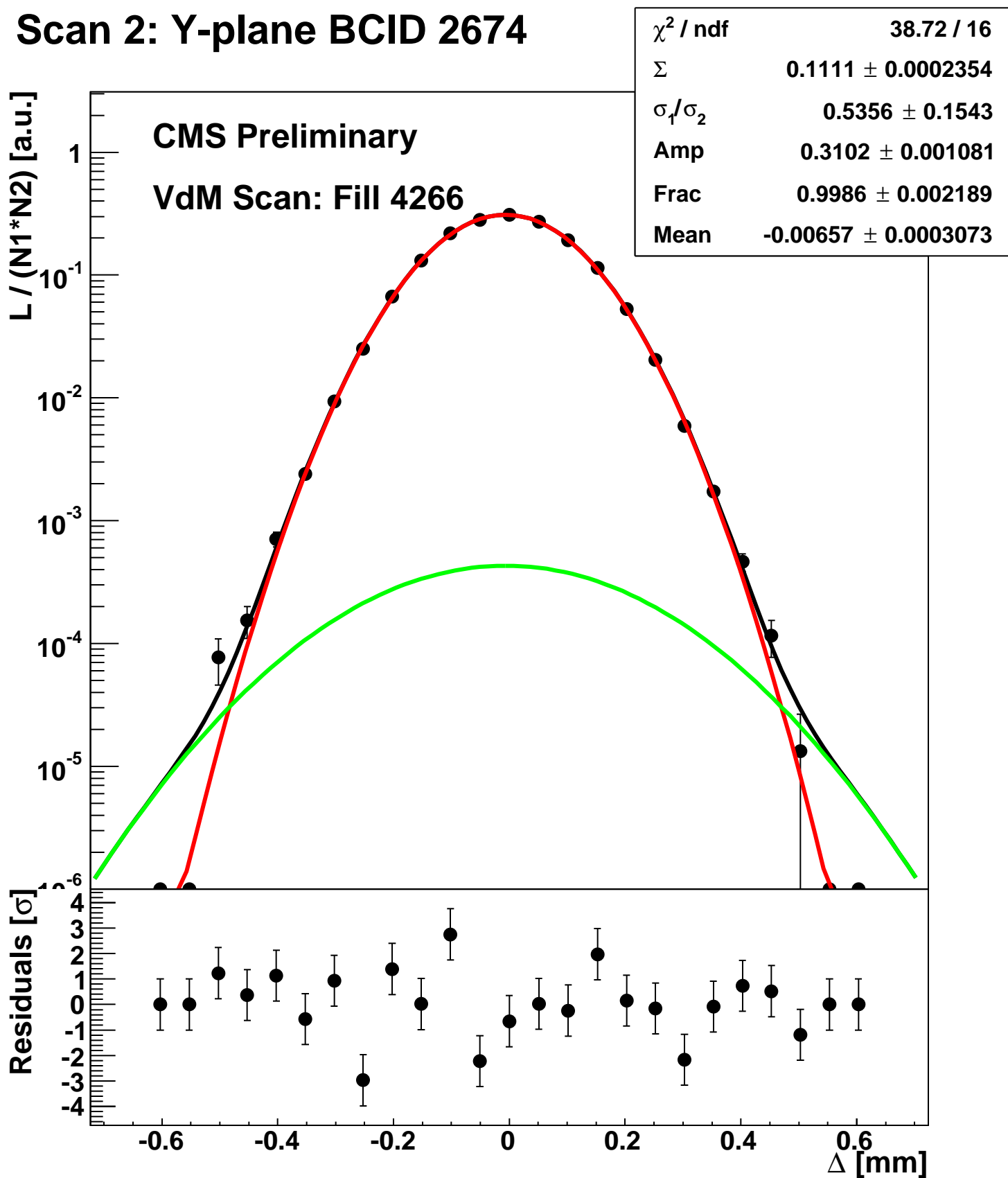
Scan 2: Y-plane BCID 1631



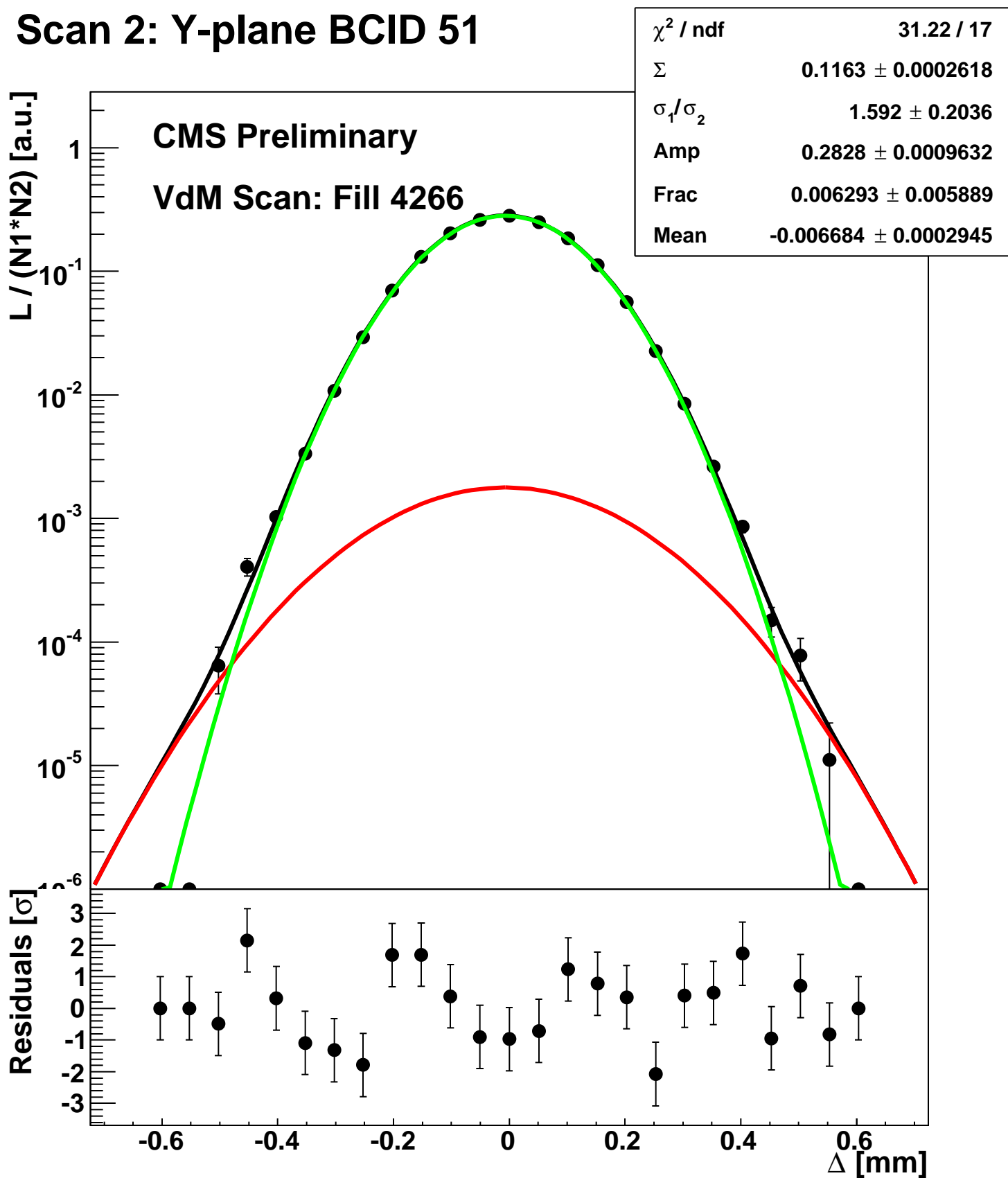
Scan 2: Y-plane BCID 2211



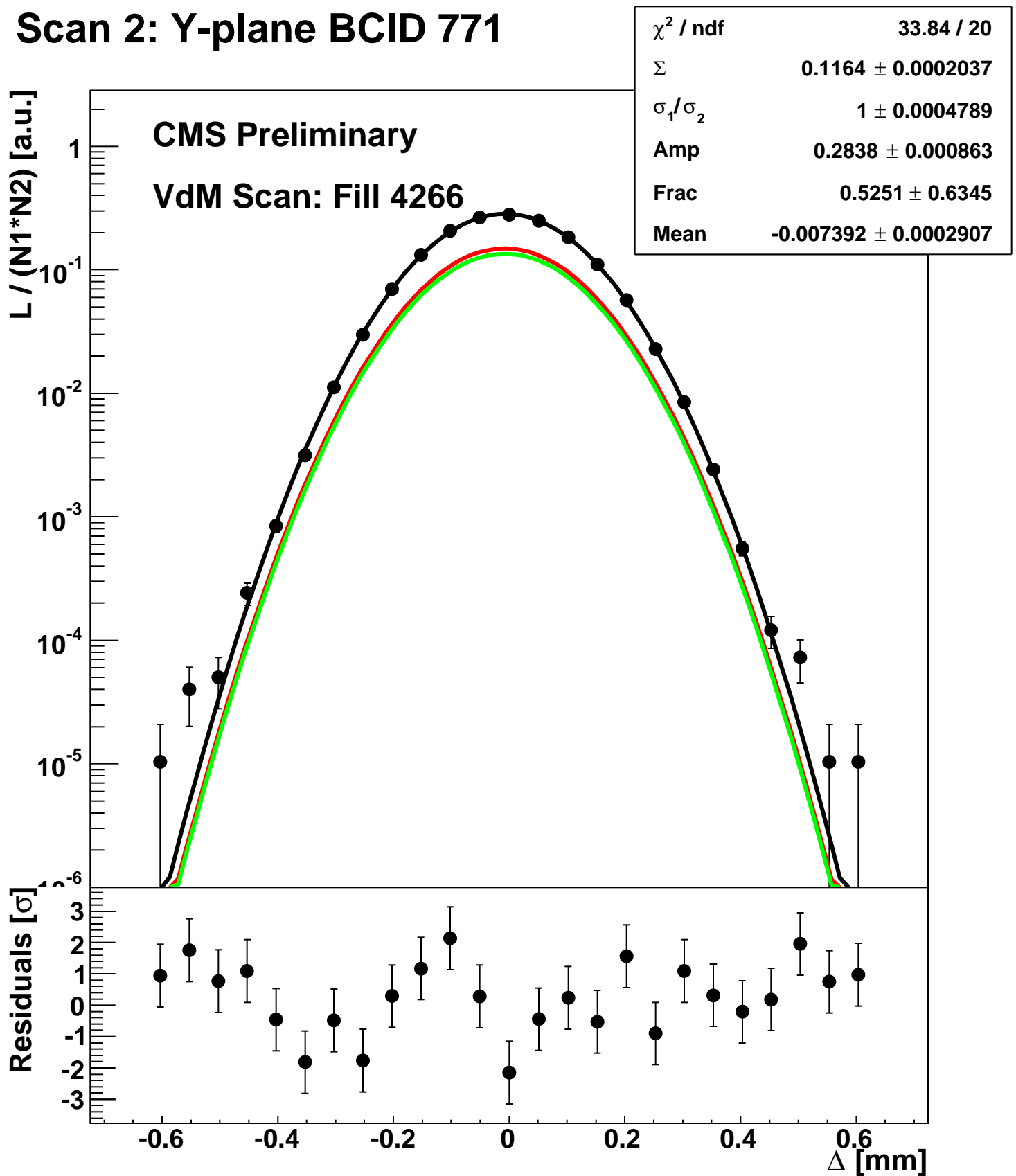
Scan 2: Y-plane BCID 2674



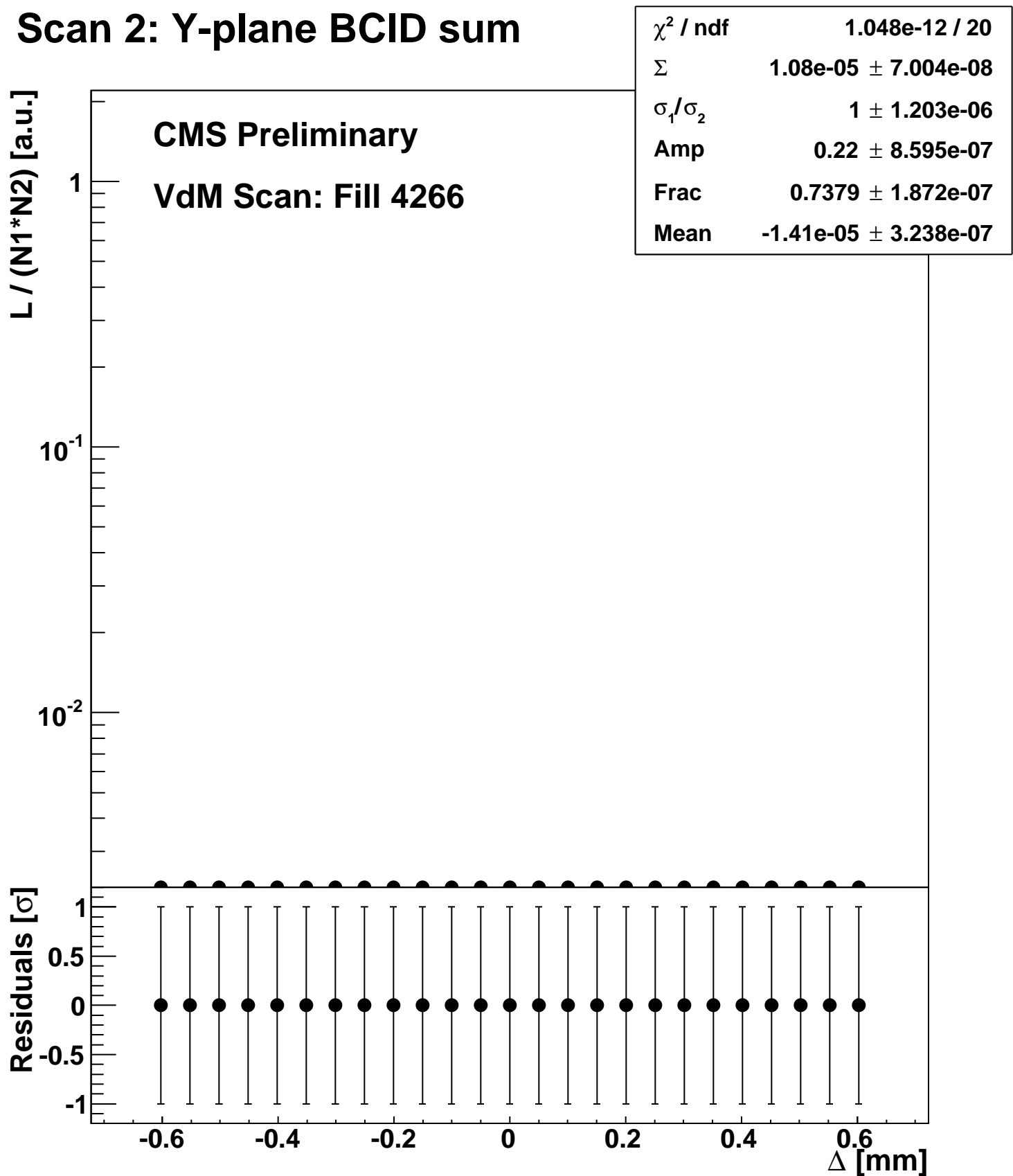
Scan 2: Y-plane BCID 51



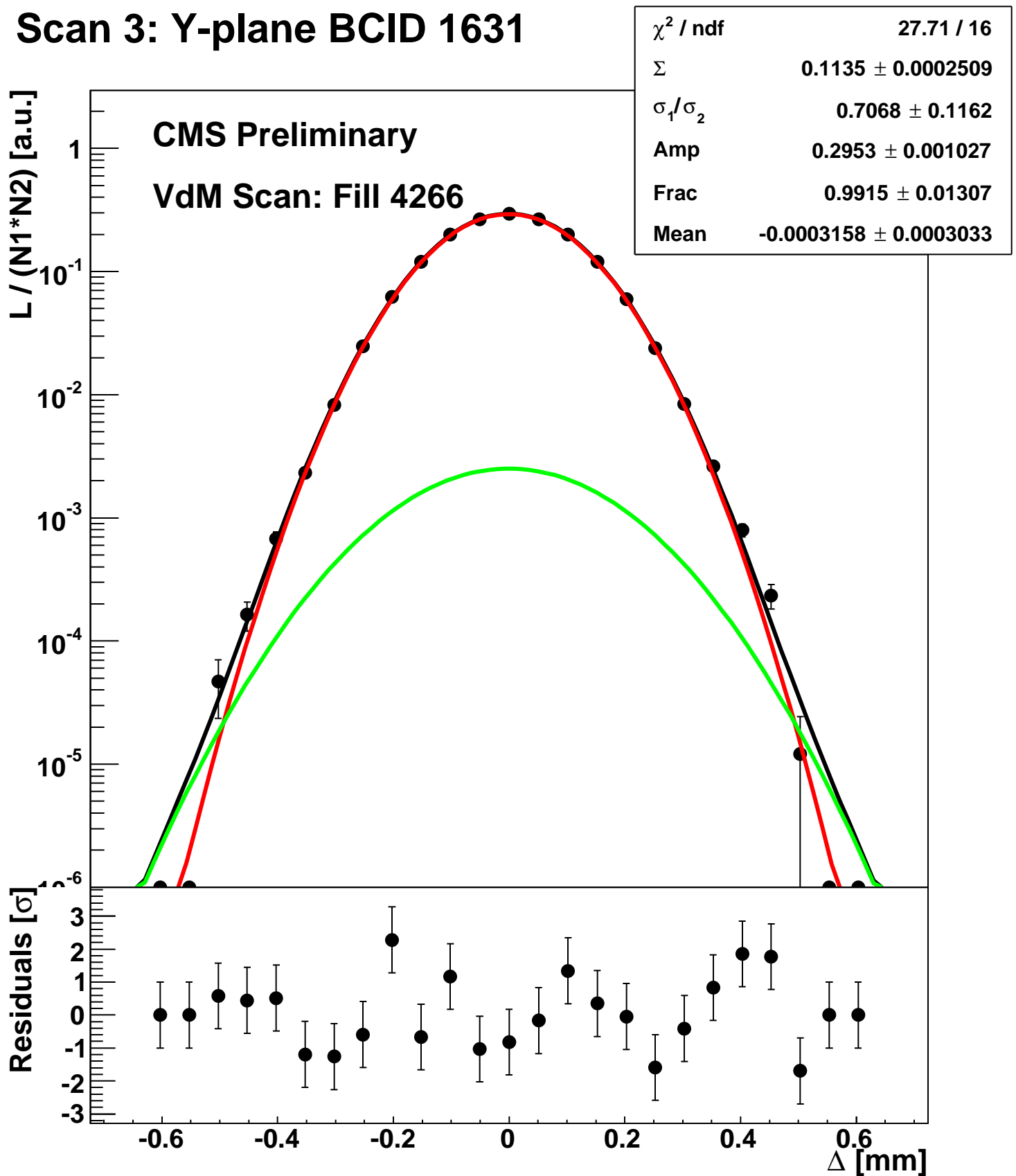
Scan 2: Y-plane BCID 771



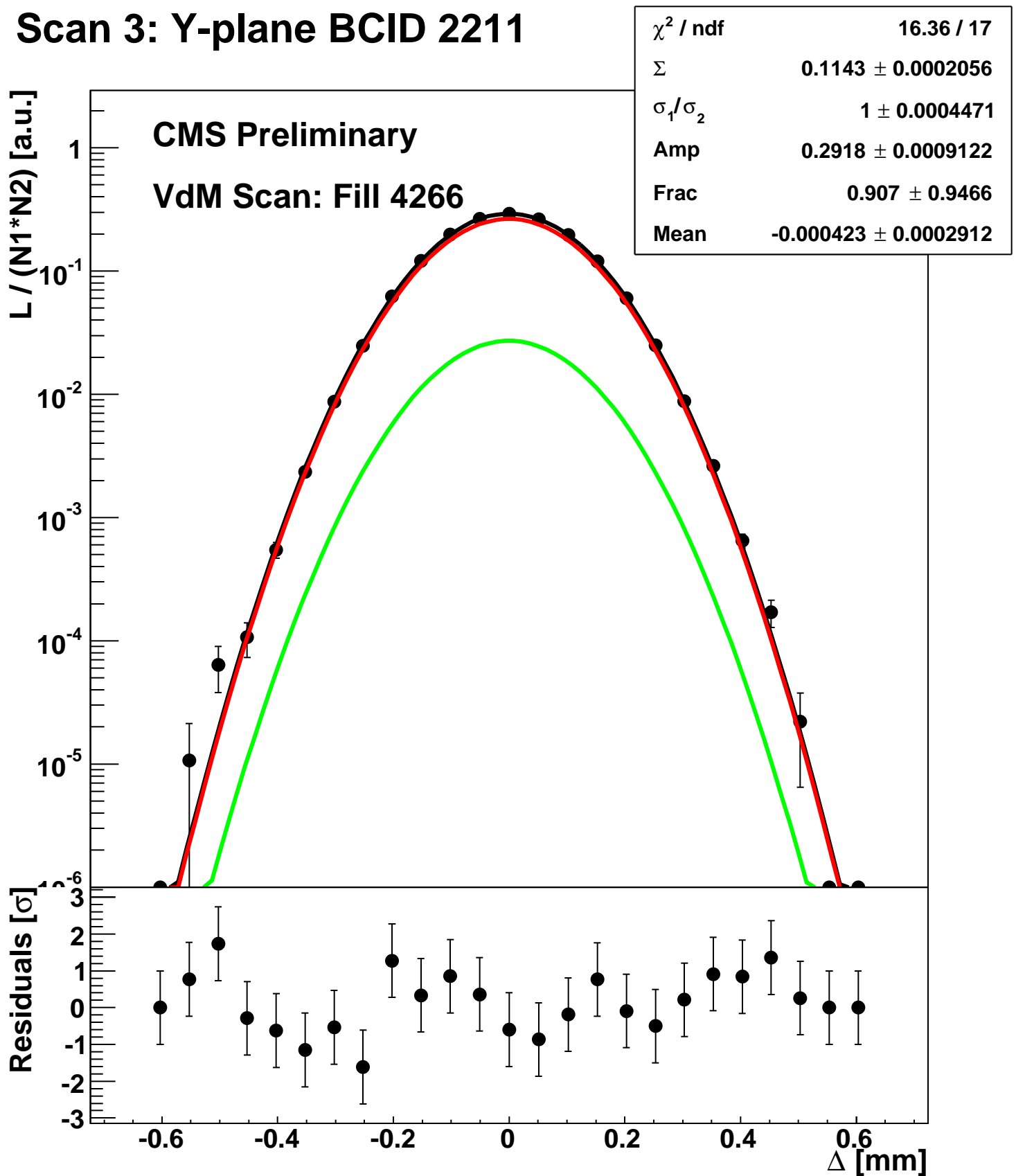
Scan 2: Y-plane BCID sum



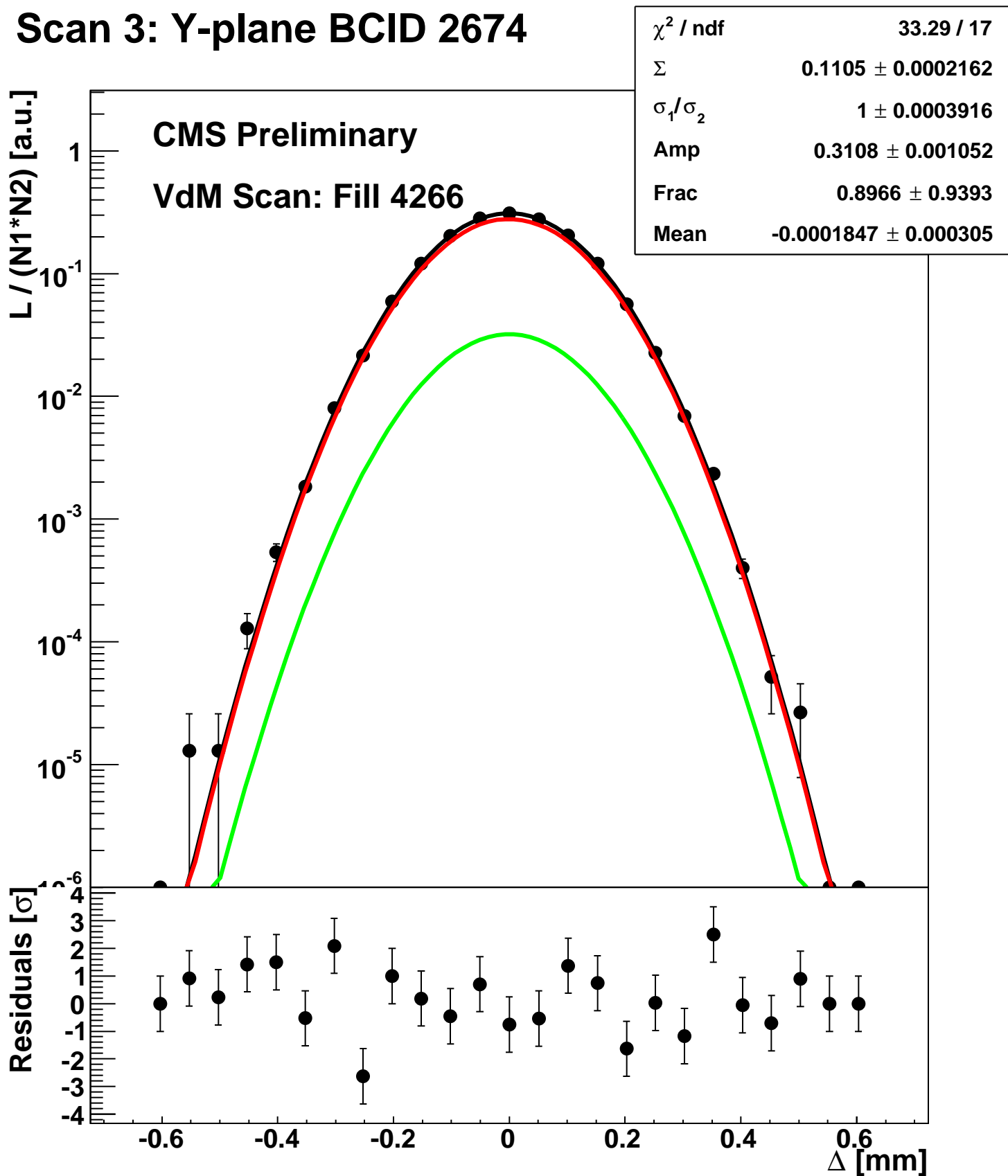
Scan 3: Y-plane BCID 1631



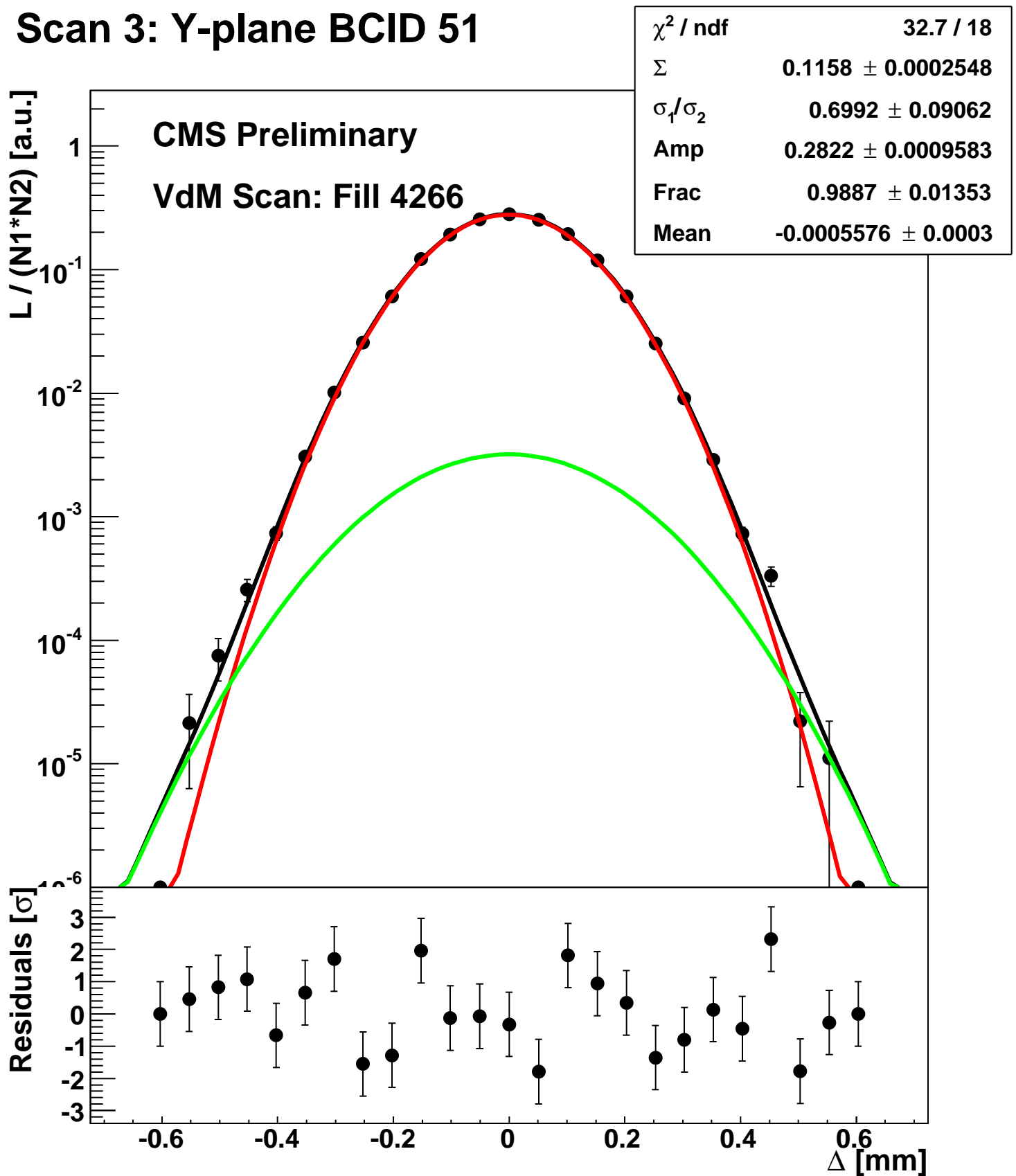
Scan 3: Y-plane BCID 2211



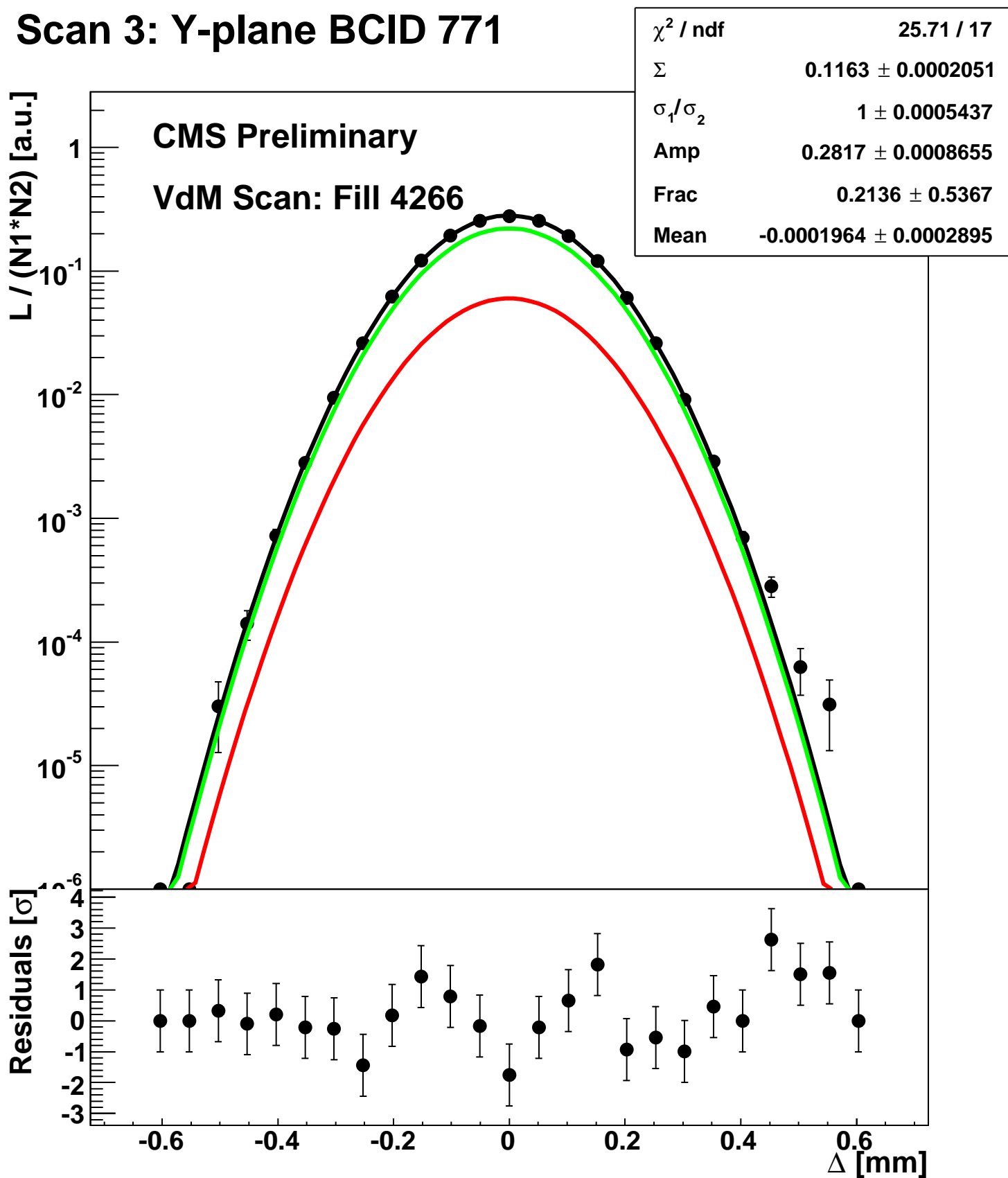
Scan 3: Y-plane BCID 2674



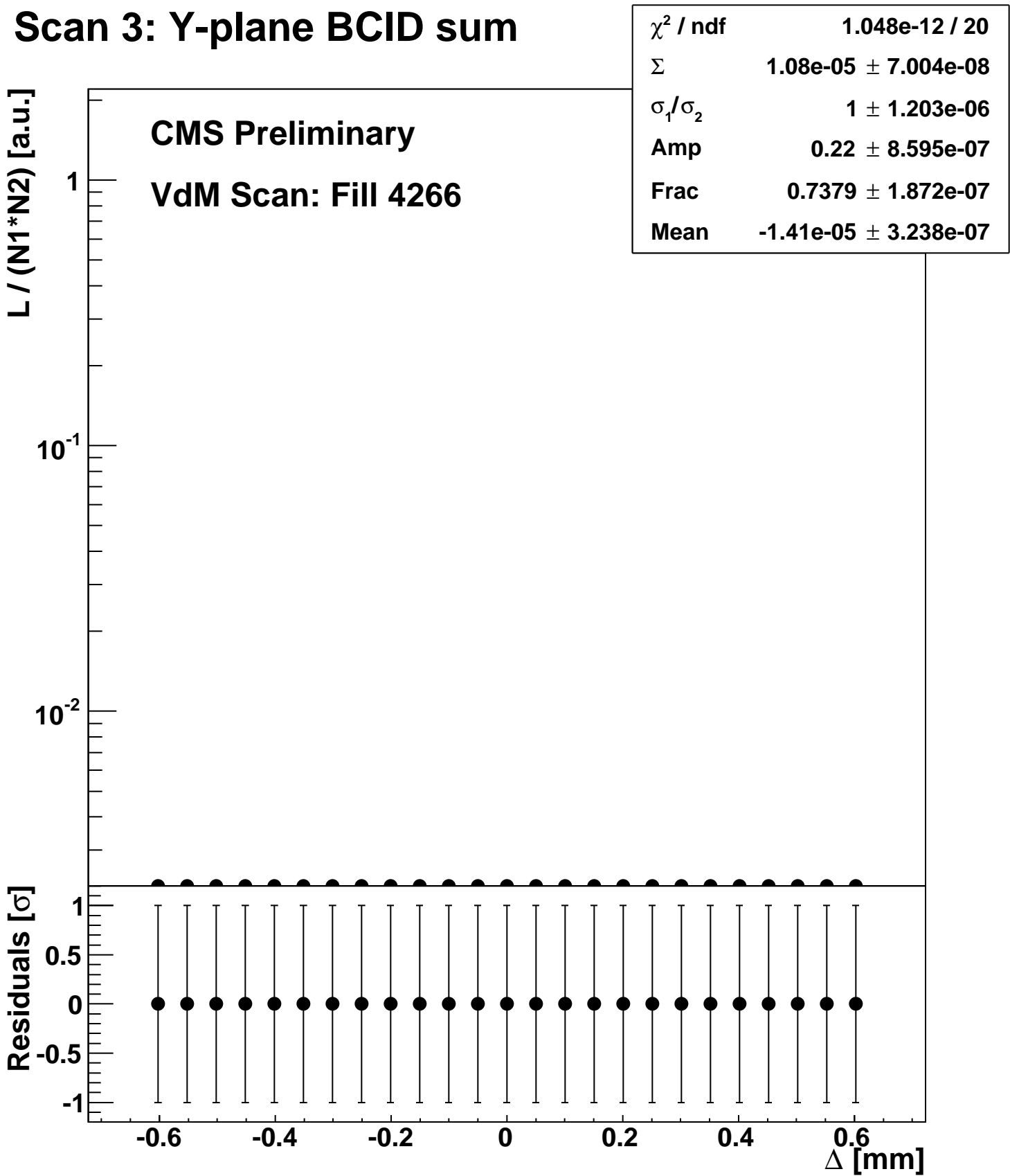
Scan 3: Y-plane BCID 51



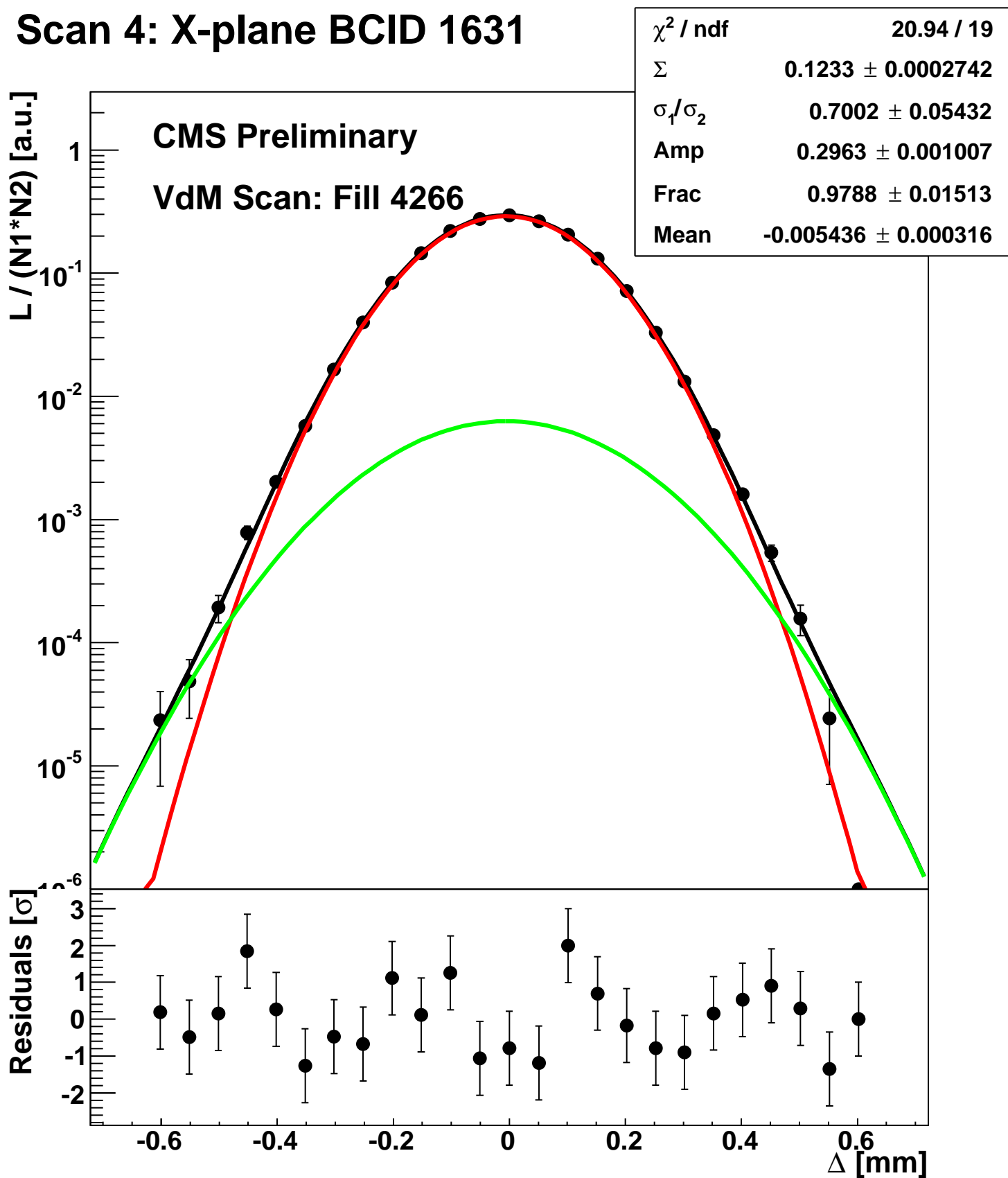
Scan 3: Y-plane BCID 771



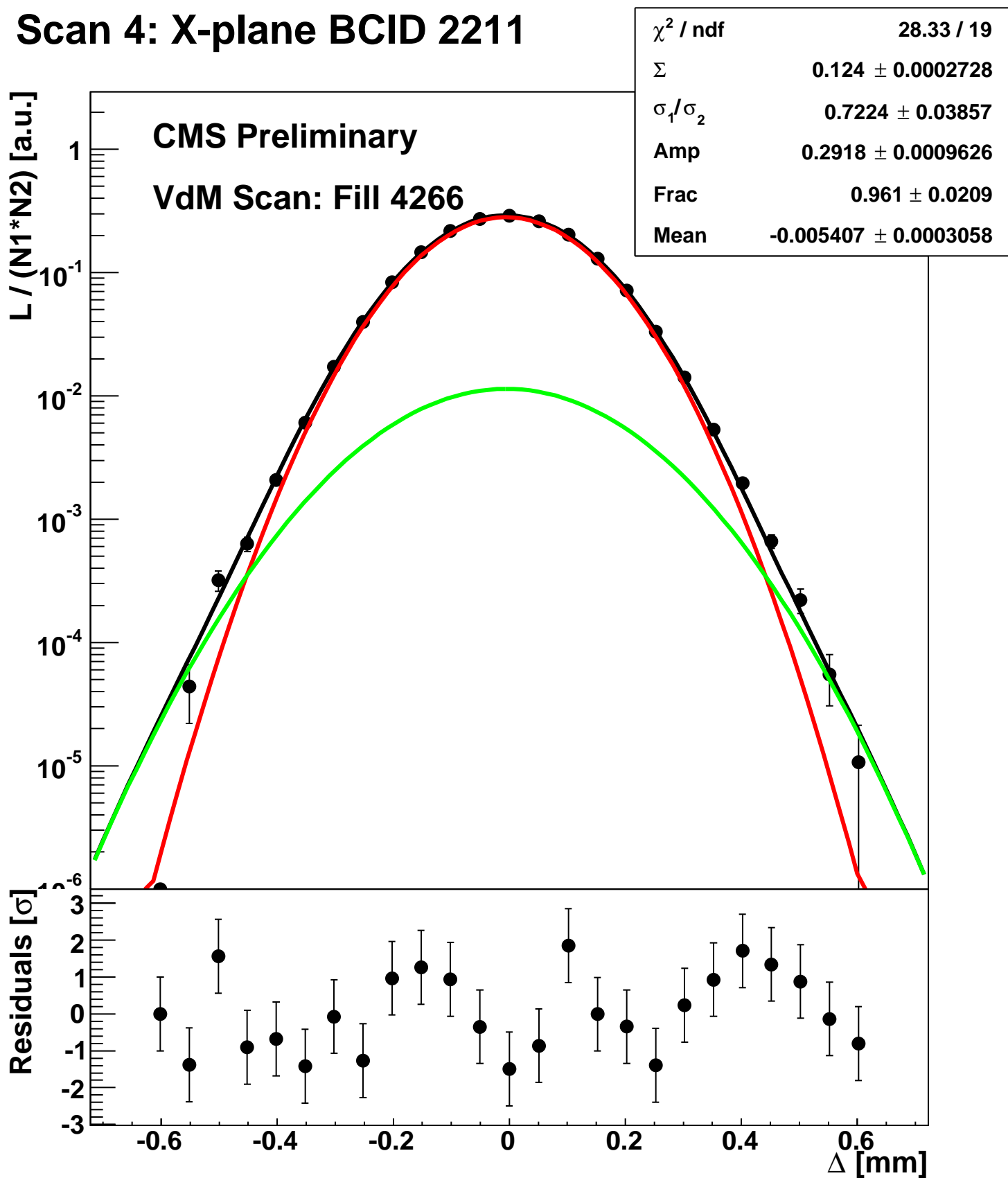
Scan 3: Y-plane BCID sum



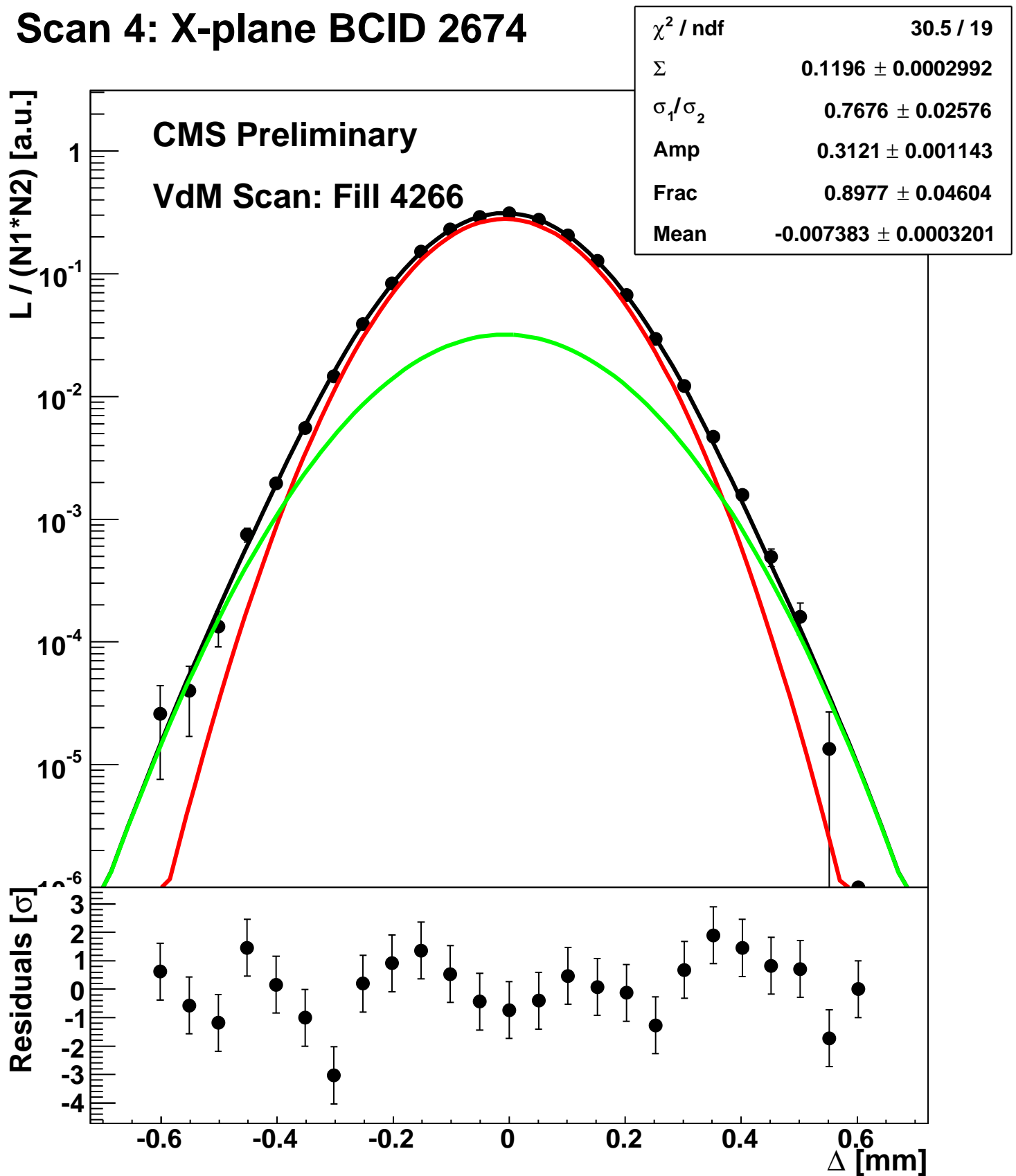
Scan 4: X-plane BCID 1631



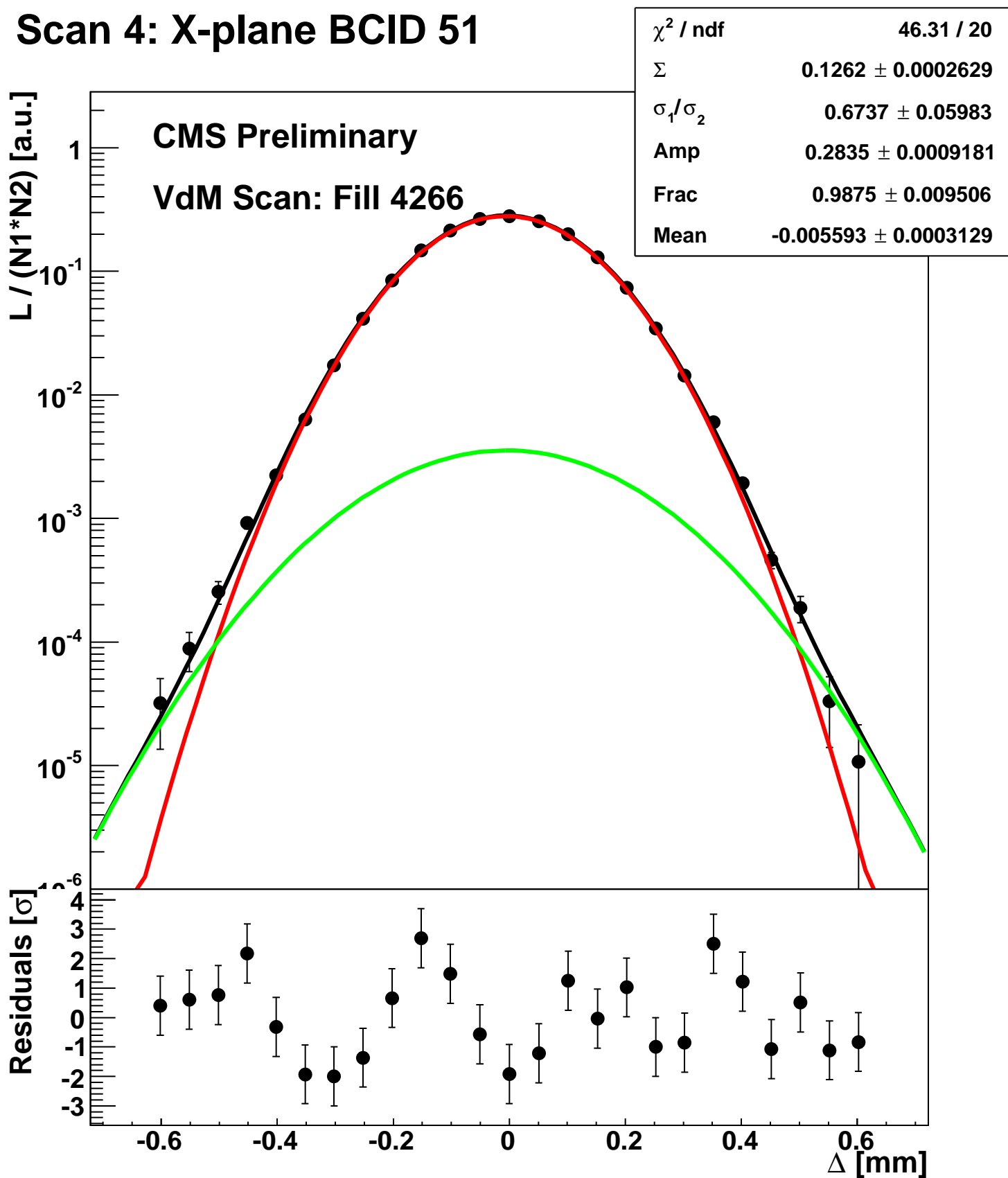
Scan 4: X-plane BCID 2211



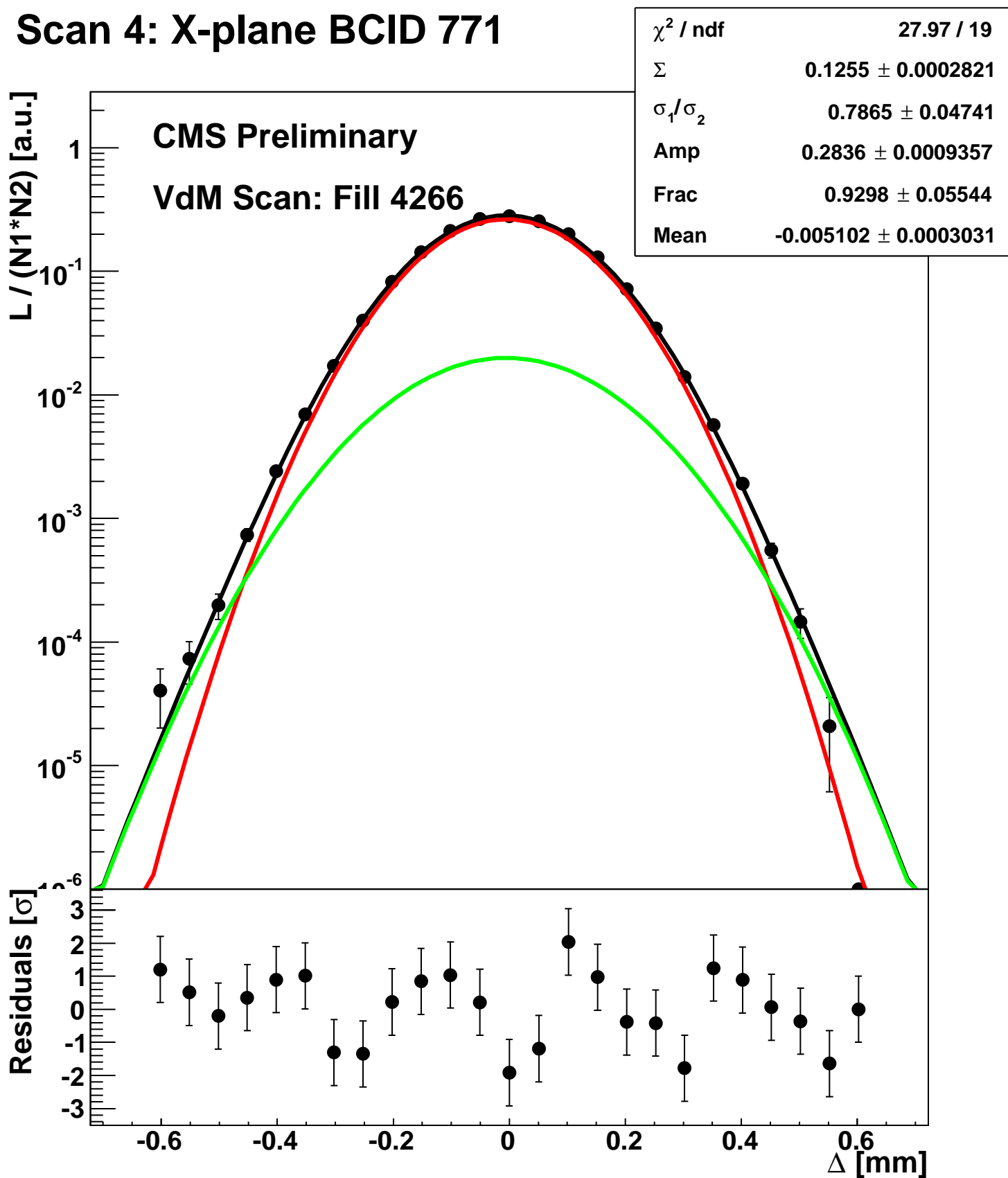
Scan 4: X-plane BCID 2674



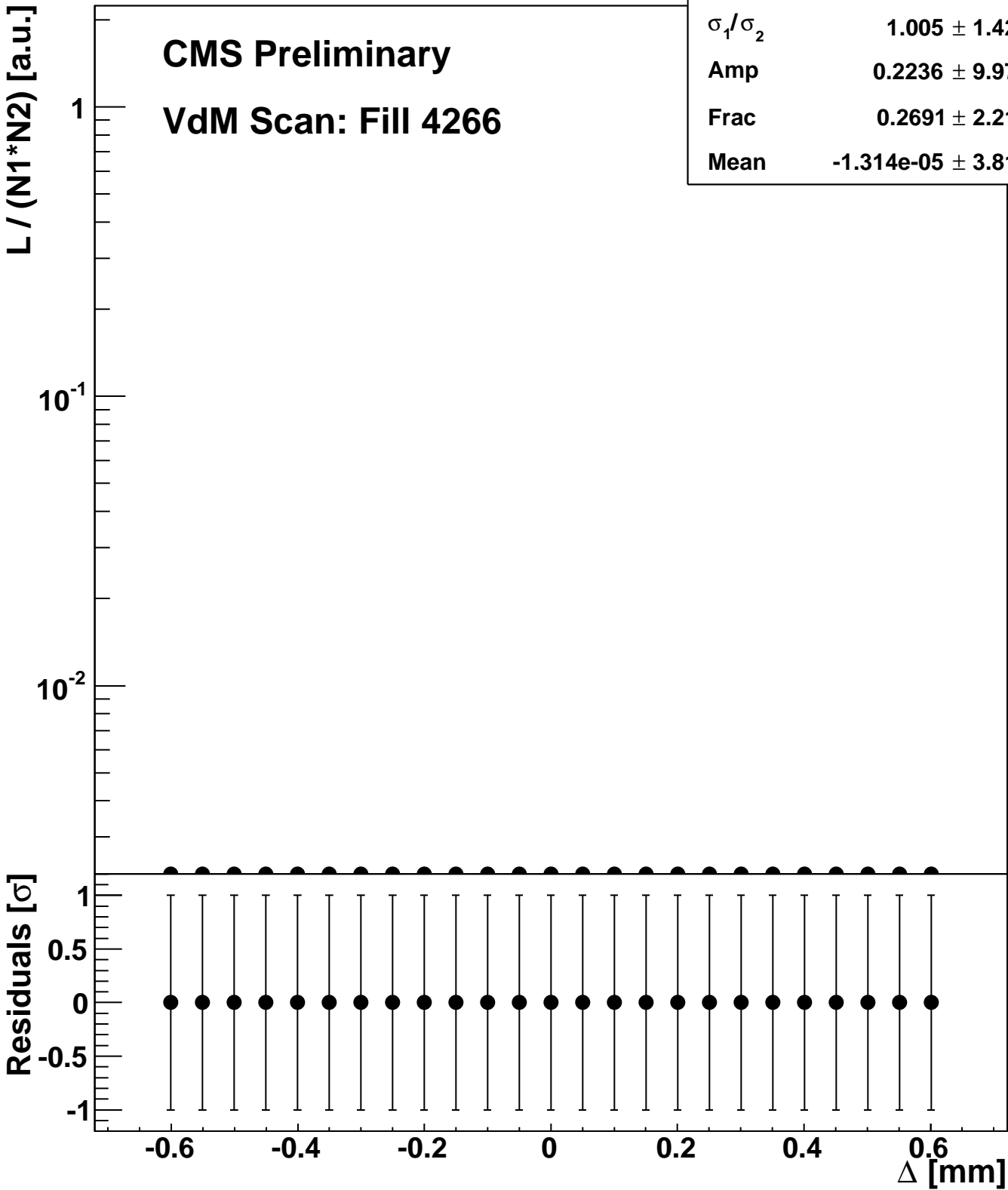
Scan 4: X-plane BCID 51



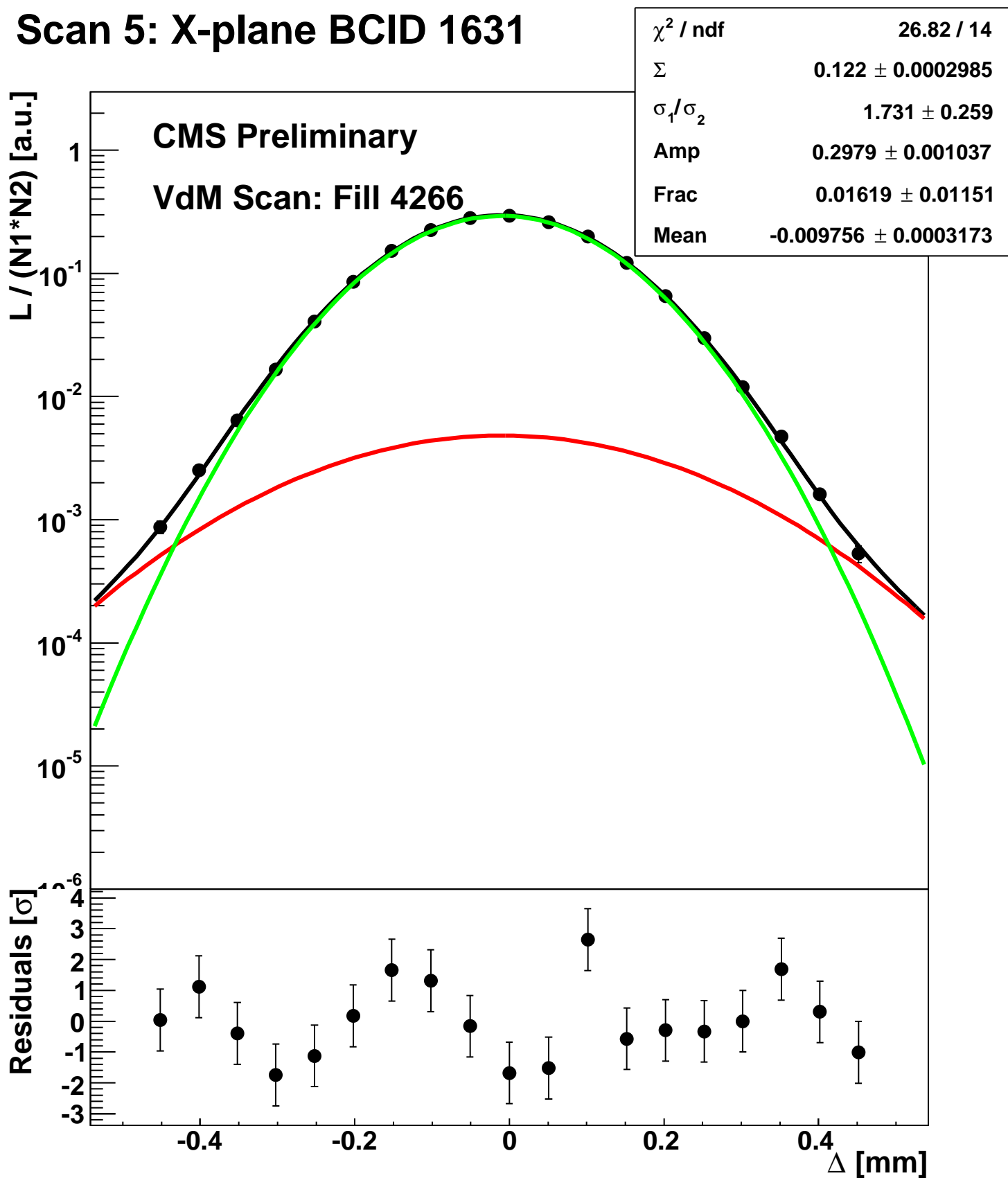
Scan 4: X-plane BCID 771



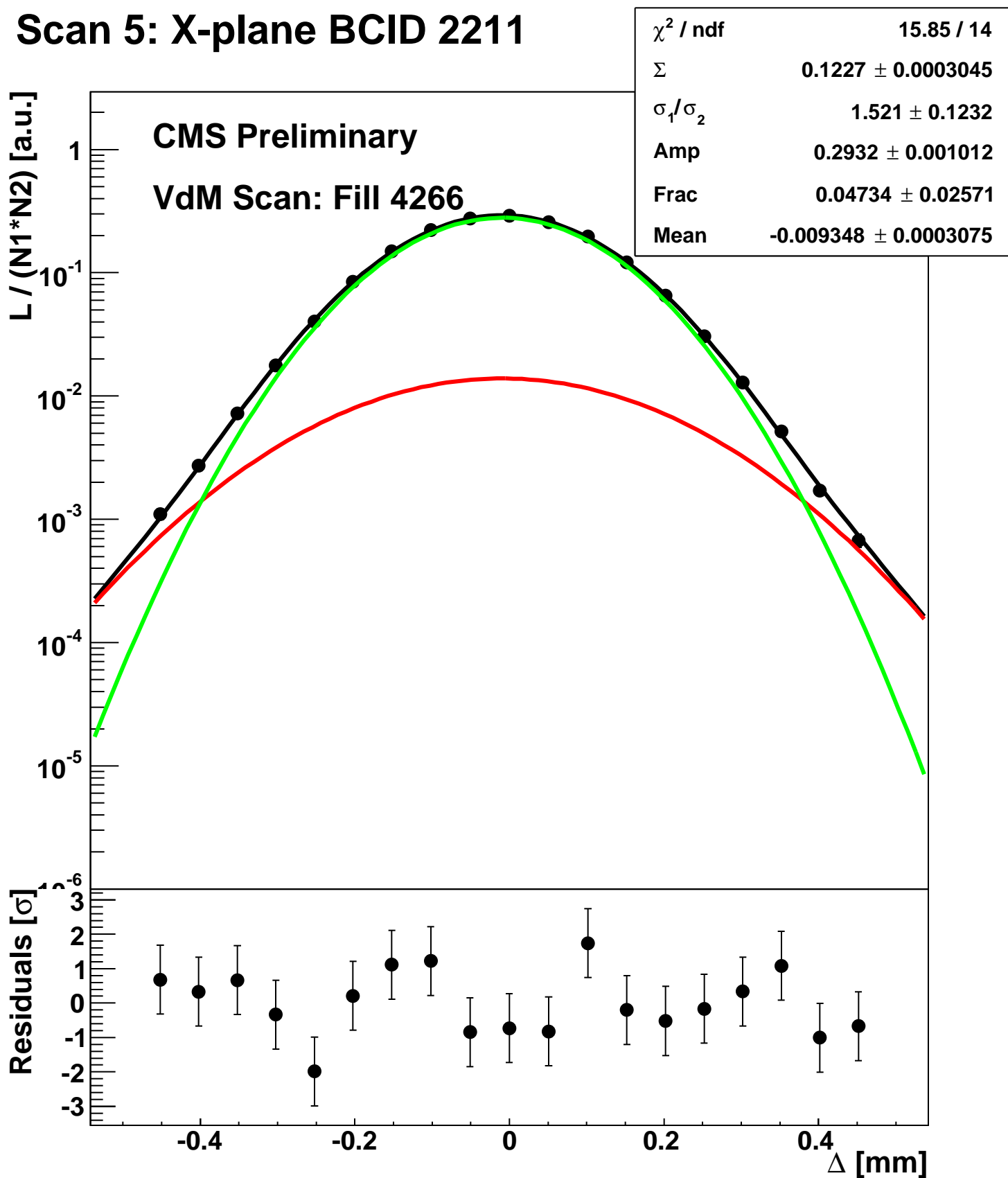
Scan 4: X-plane BCID sum



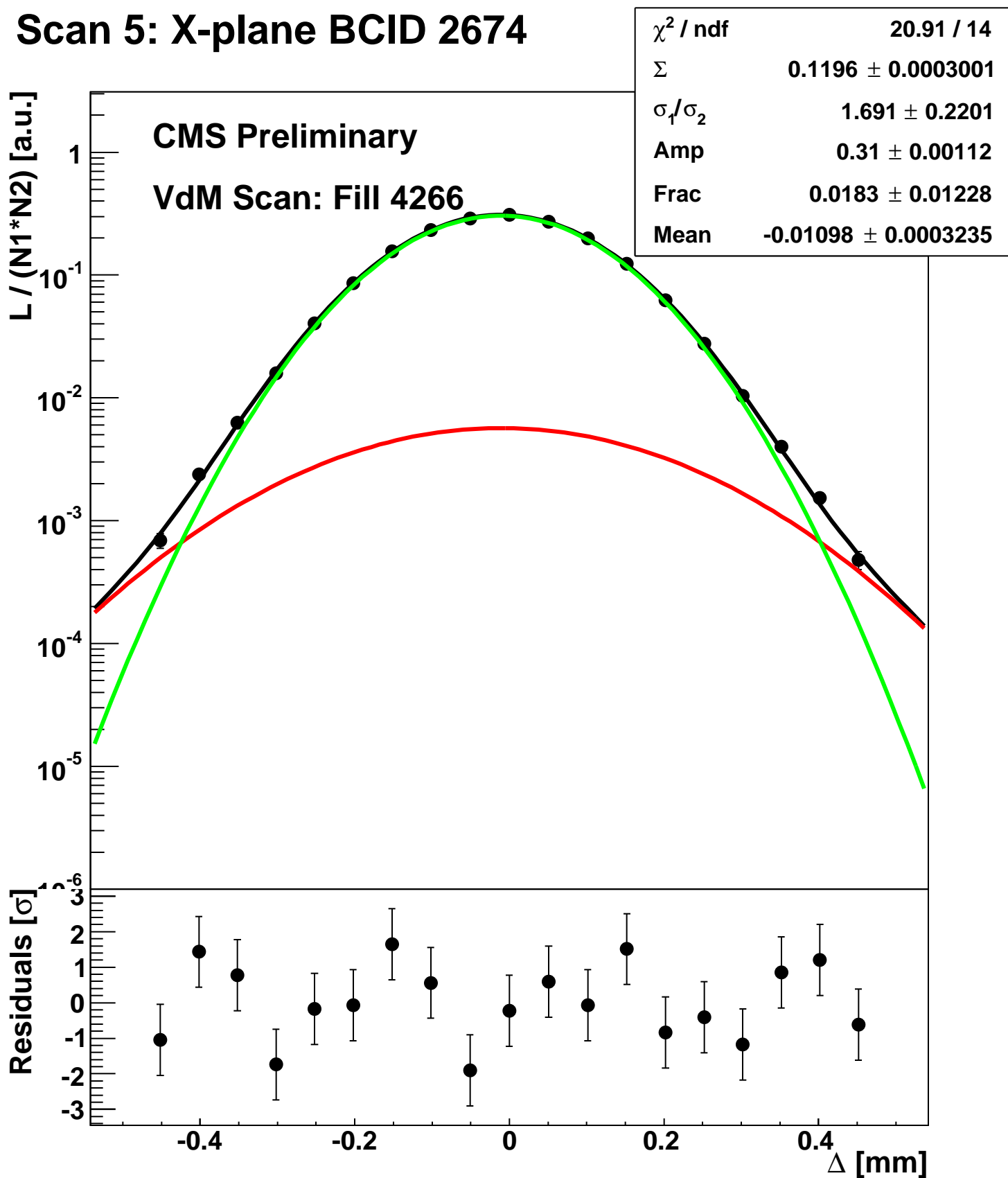
Scan 5: X-plane BCID 1631



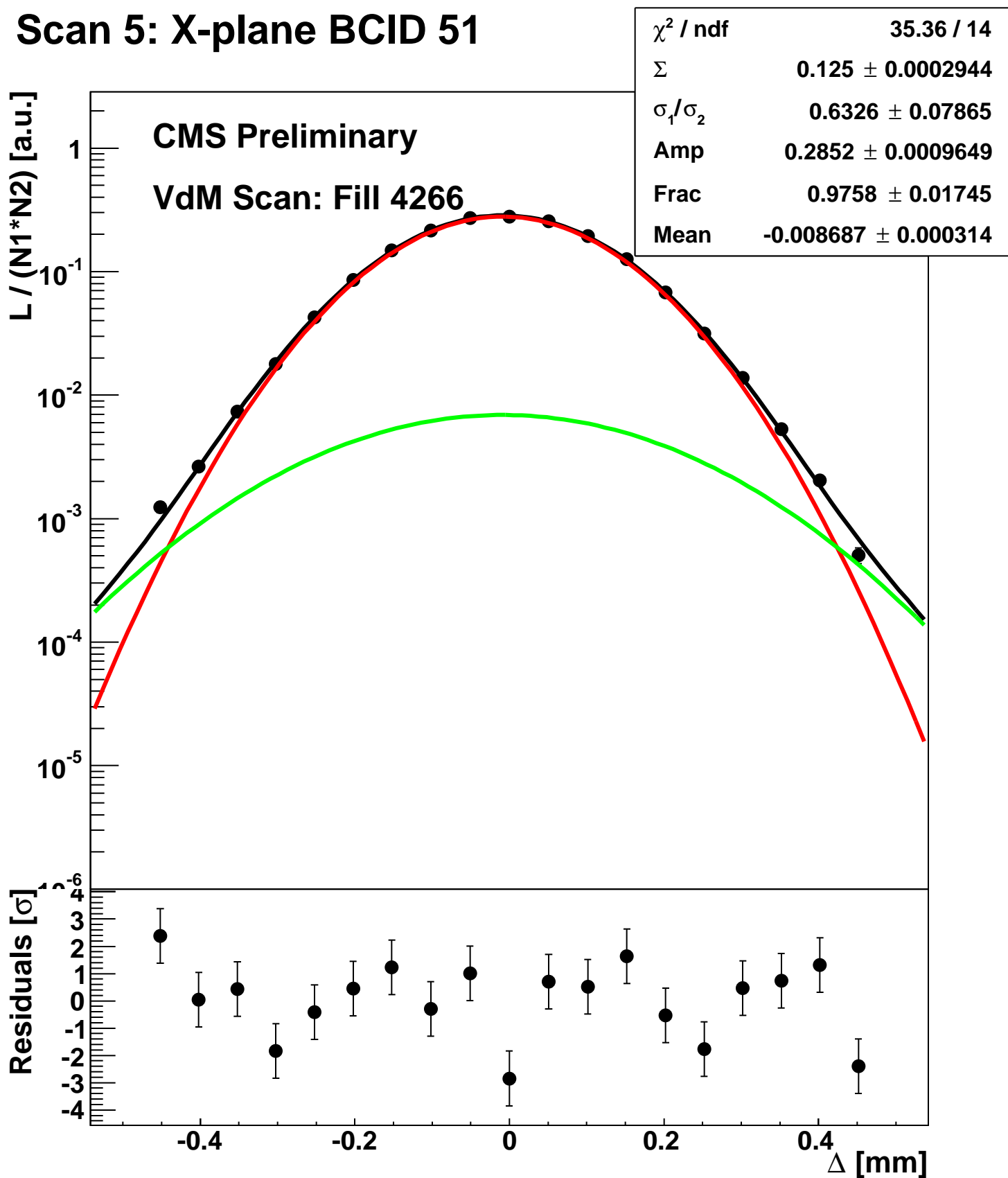
Scan 5: X-plane BCID 2211



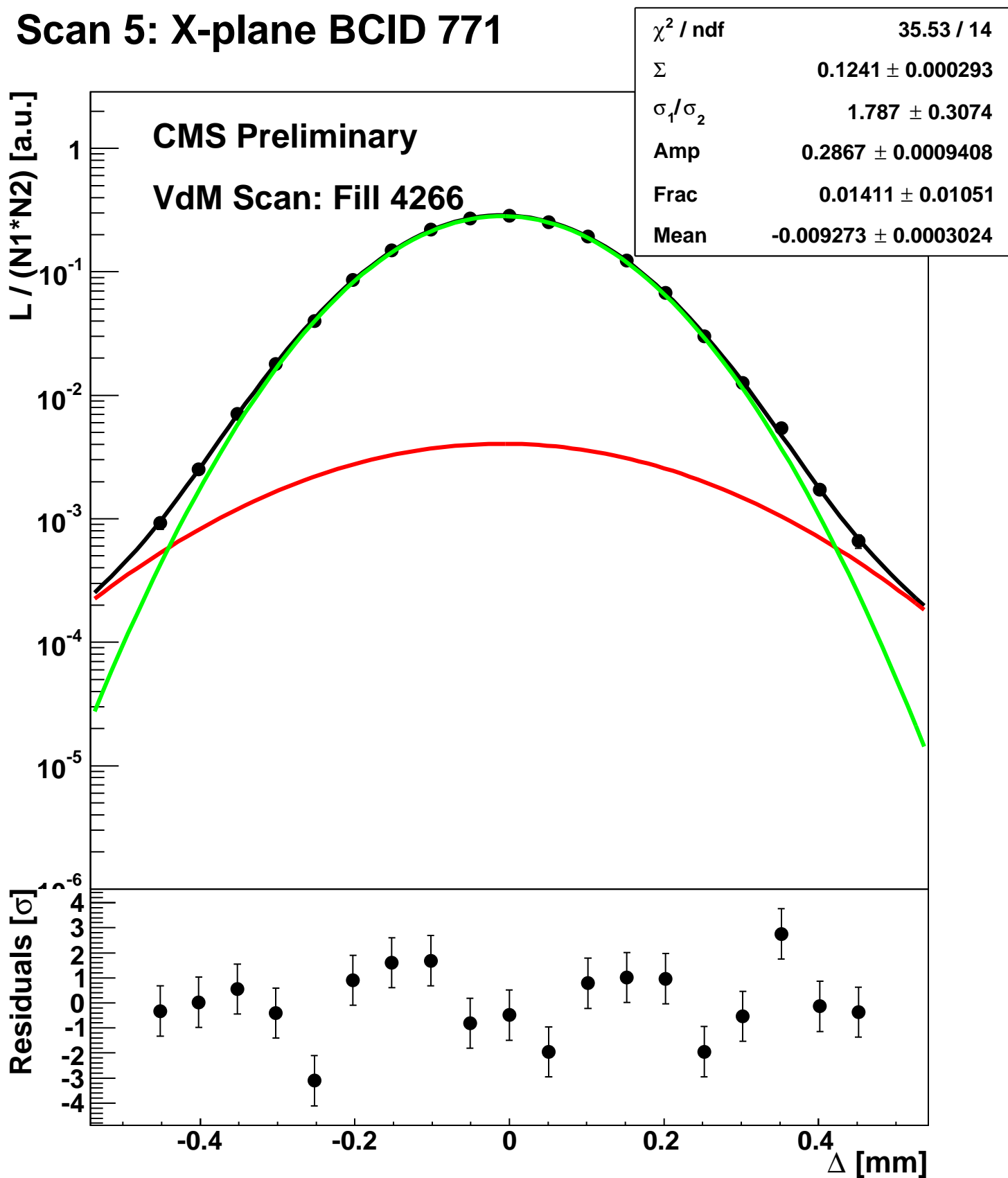
Scan 5: X-plane BCID 2674



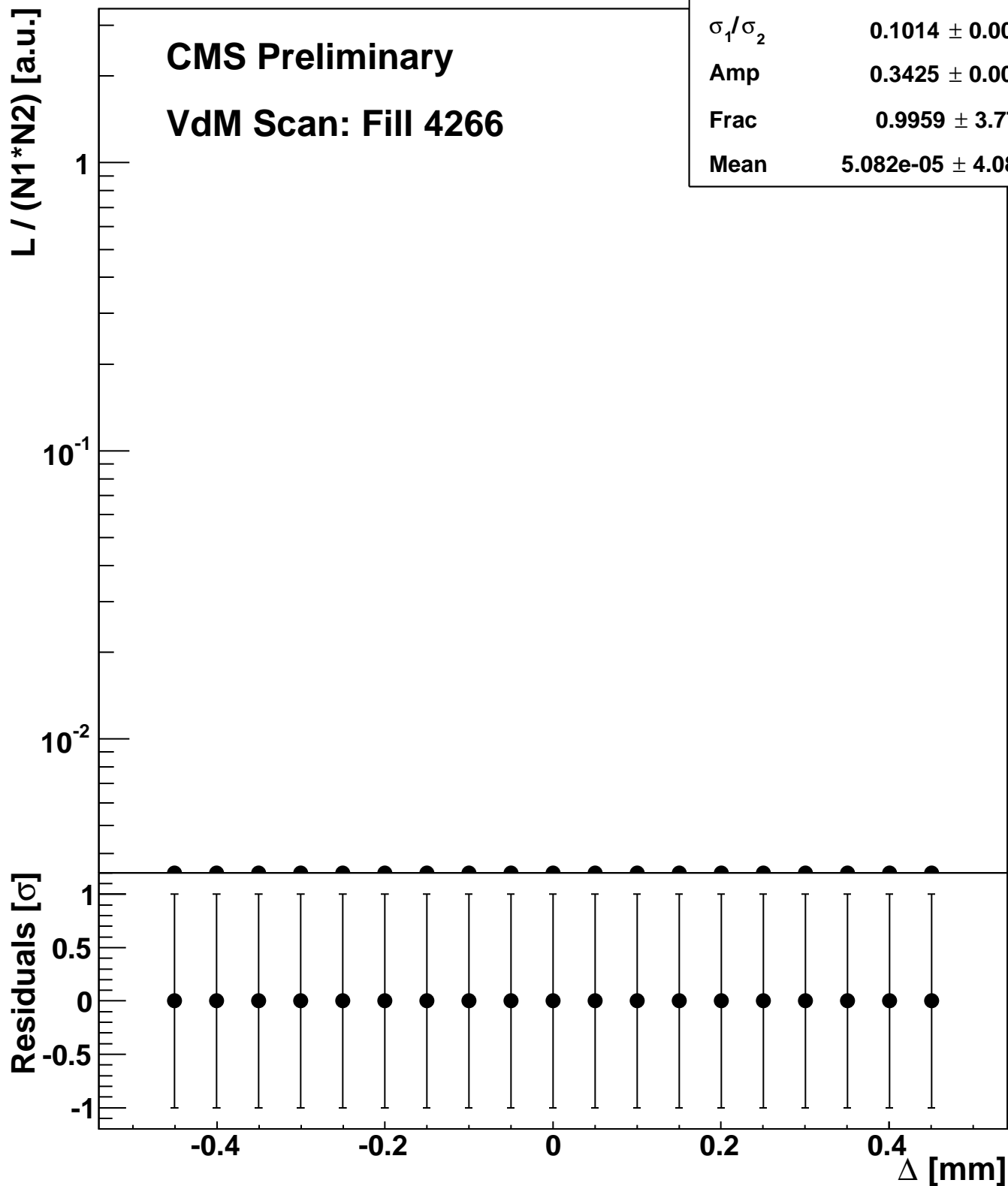
Scan 5: X-plane BCID 51



Scan 5: X-plane BCID 771

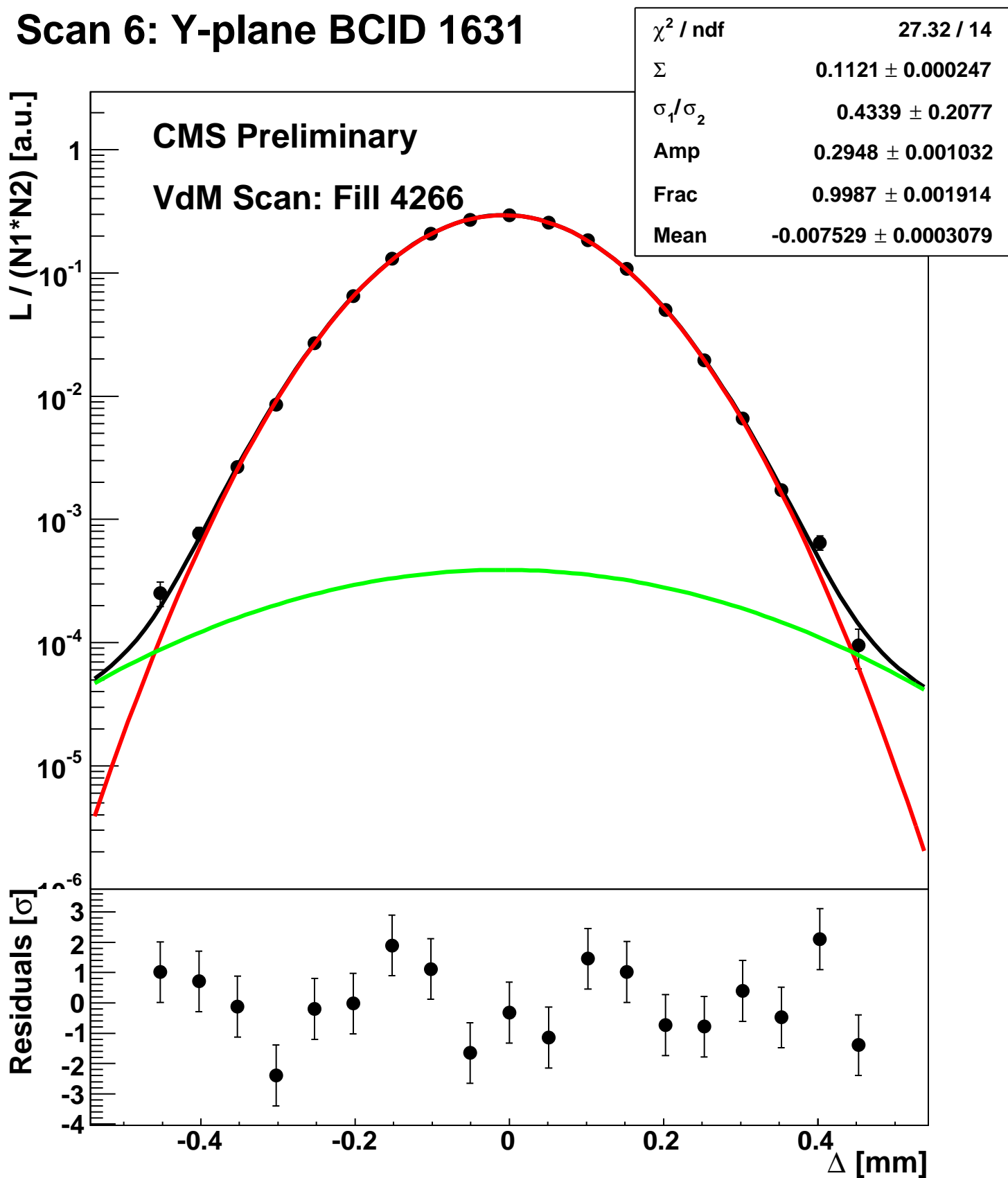


Scan 5: X-plane BCID sum

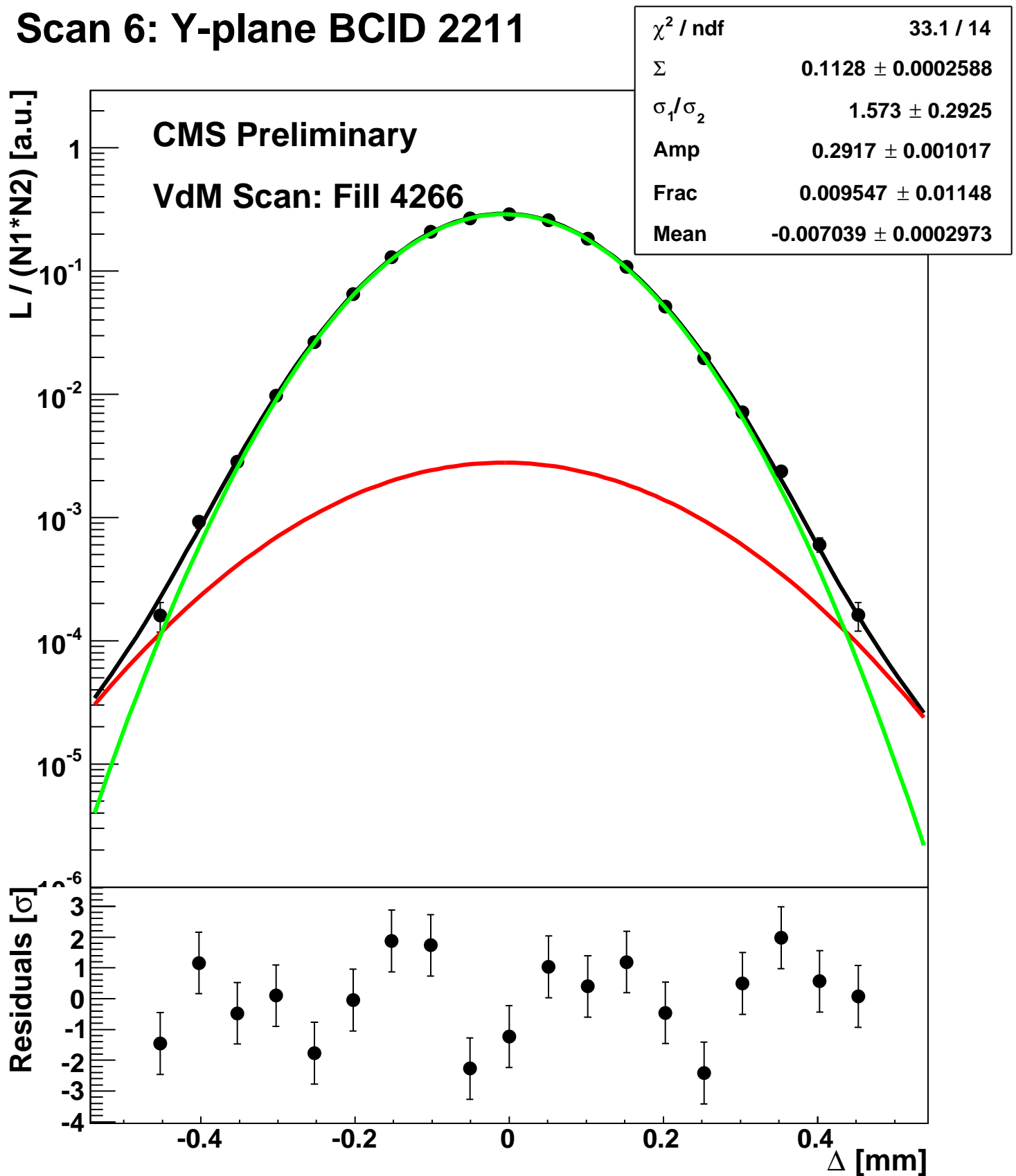


χ^2 / ndf	3.63e-08 / 14
Σ	-4.749e-06 \pm 4.538e-07
σ_1 / σ_2	0.1014 \pm 0.0003614
Amp	0.3425 \pm 0.0002085
Frac	0.9959 \pm 3.772e-05
Mean	5.082e-05 \pm 4.081e-06

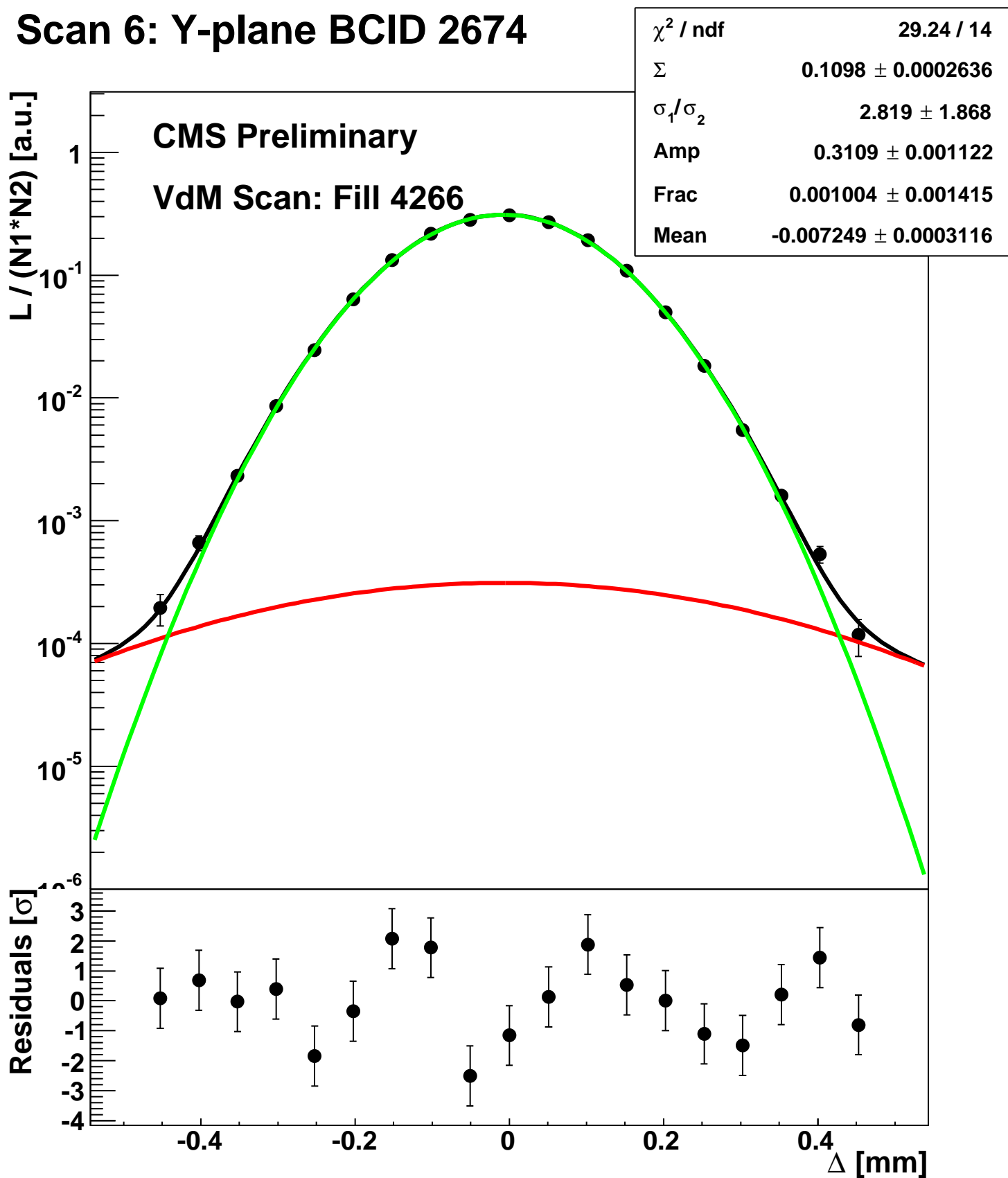
Scan 6: Y-plane BCID 1631



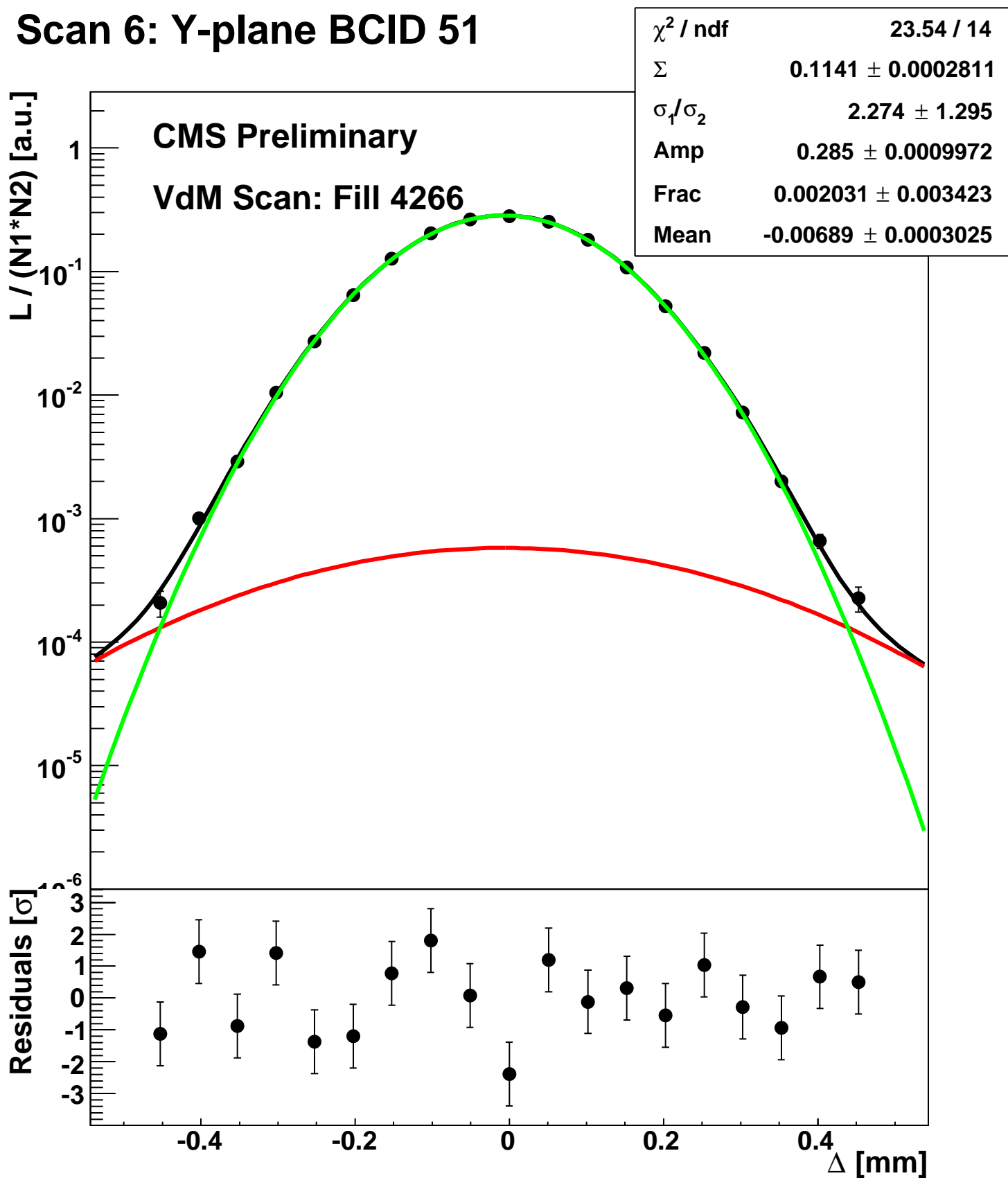
Scan 6: Y-plane BCID 2211



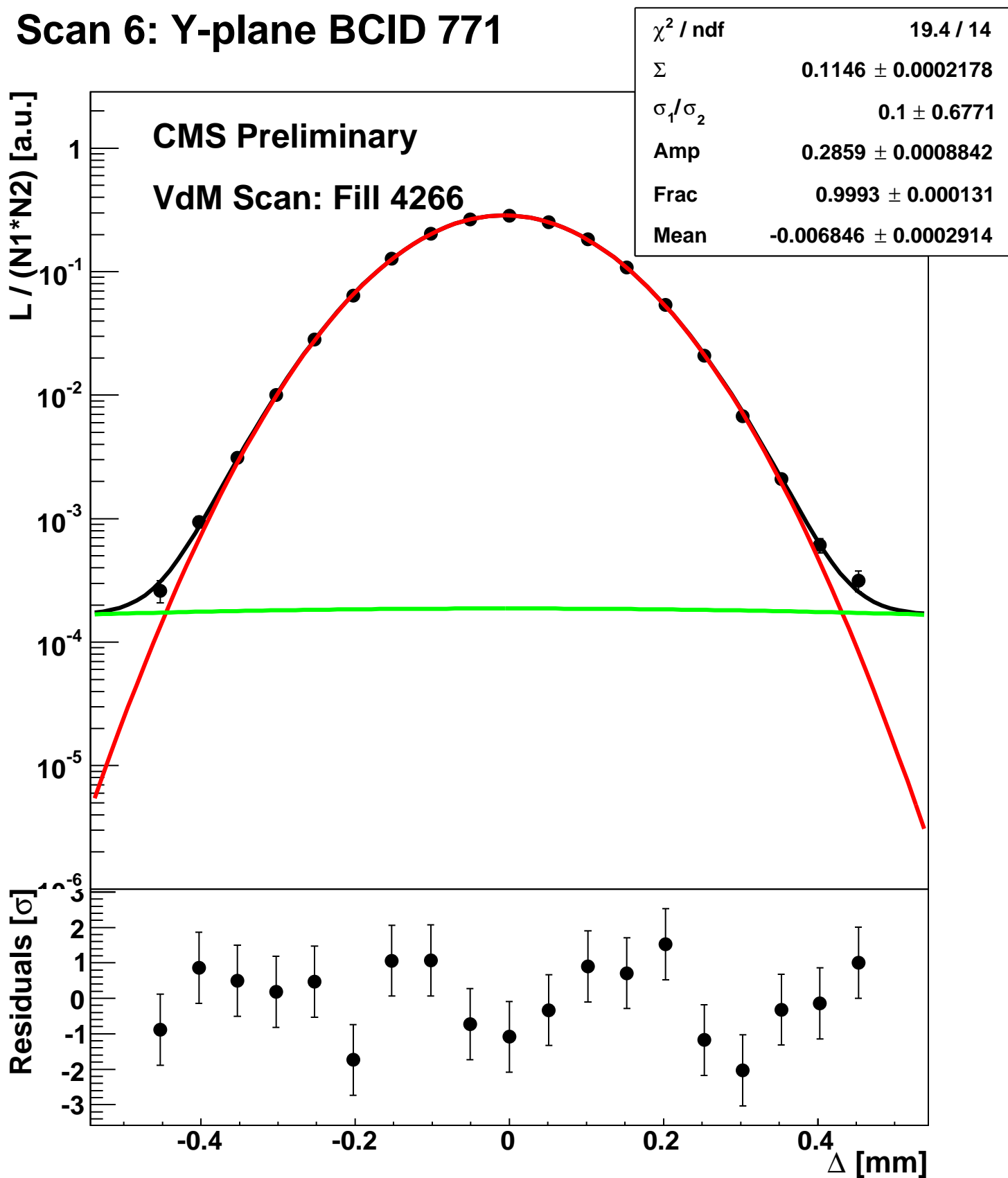
Scan 6: Y-plane BCID 2674



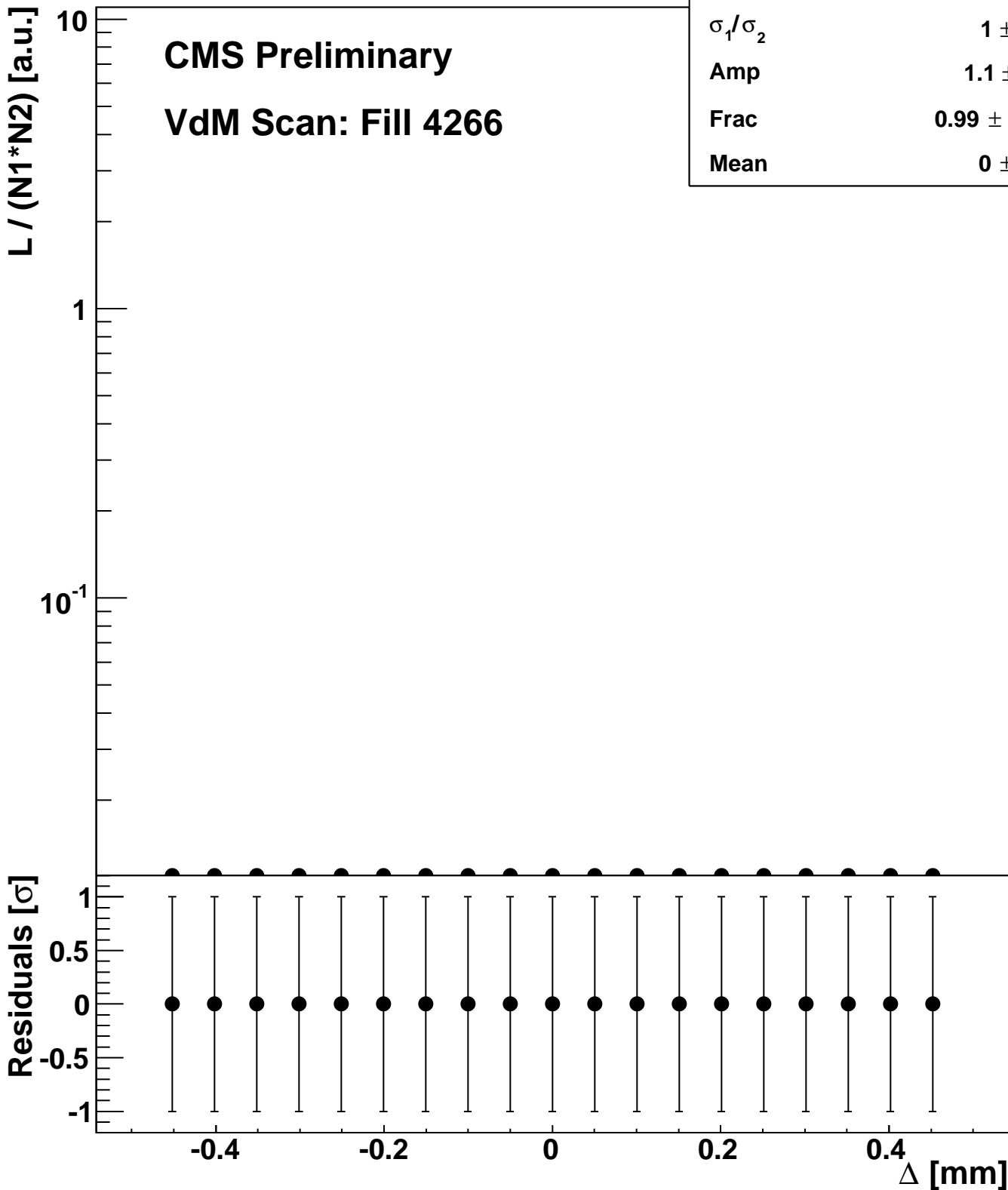
Scan 6: Y-plane BCID 51



Scan 6: Y-plane BCID 771

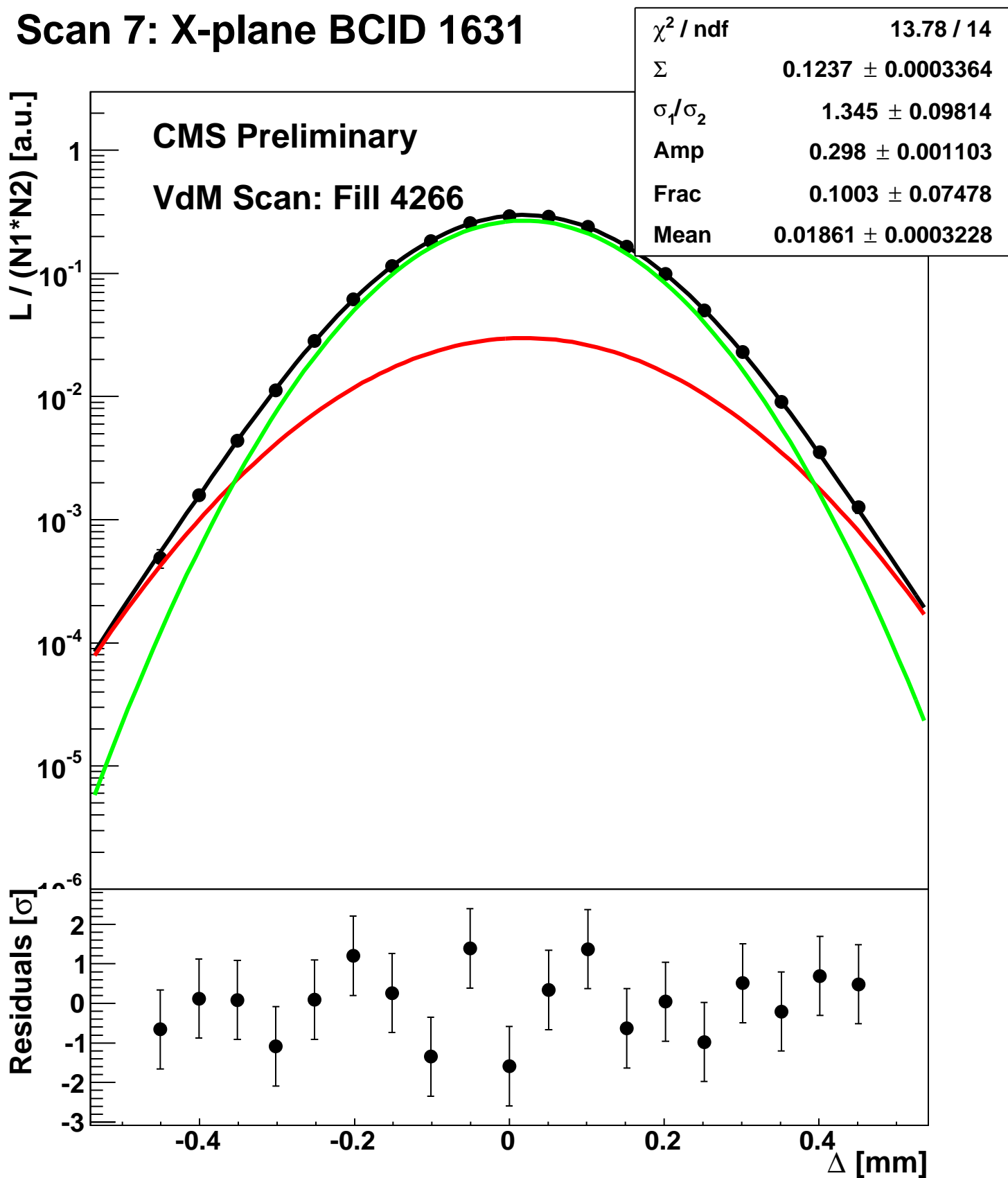


Scan 6: Y-plane BCID sum

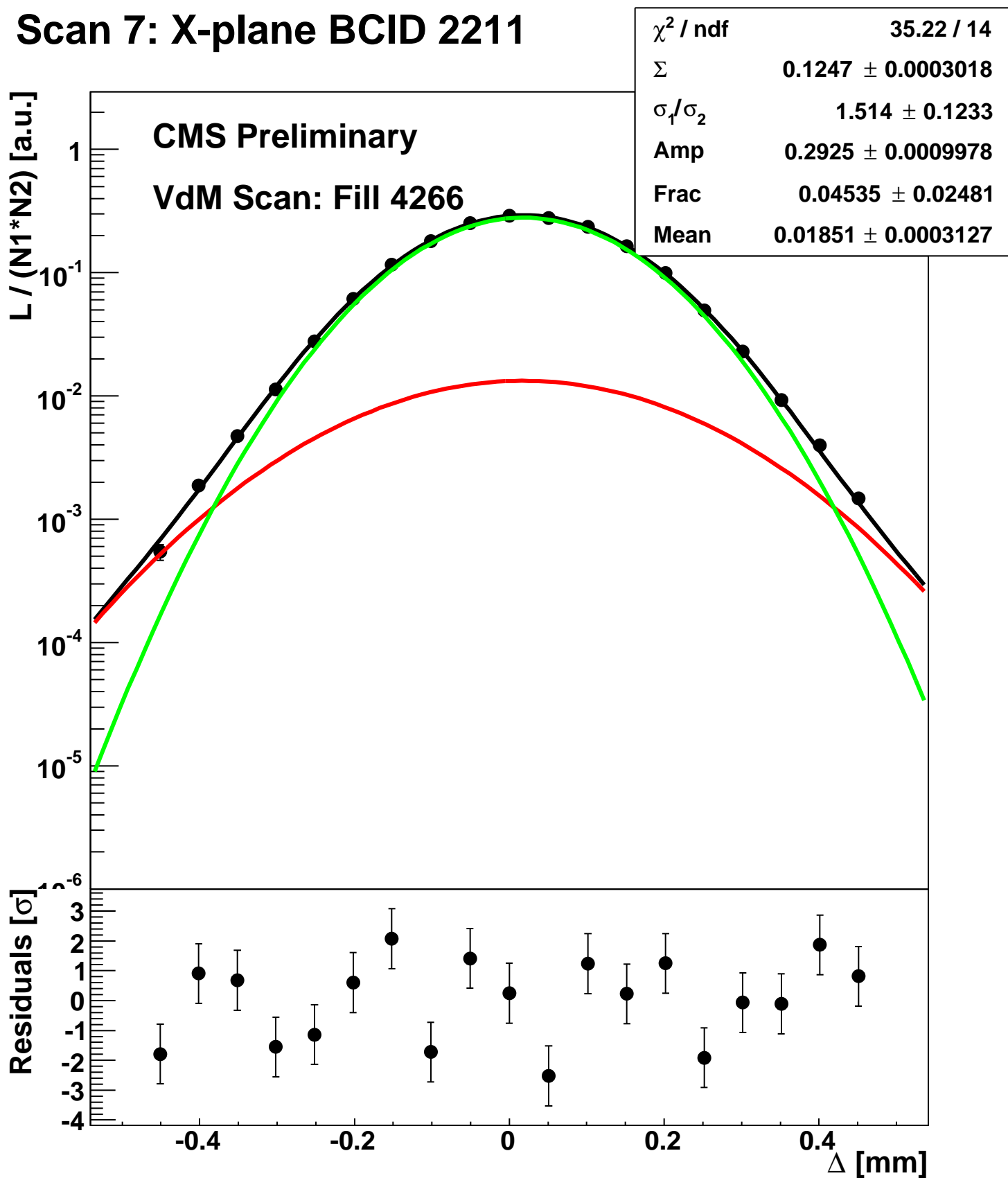


χ^2 / ndf	0 / 14
Σ	$-9.897\text{e-}07 \pm 5.224\text{e-}05$
σ_1 / σ_2	1 ± 9.417
Amp	1.1 ± 2.869
Frac	0.99 ± 0.7559
Mean	0 ± 1.414

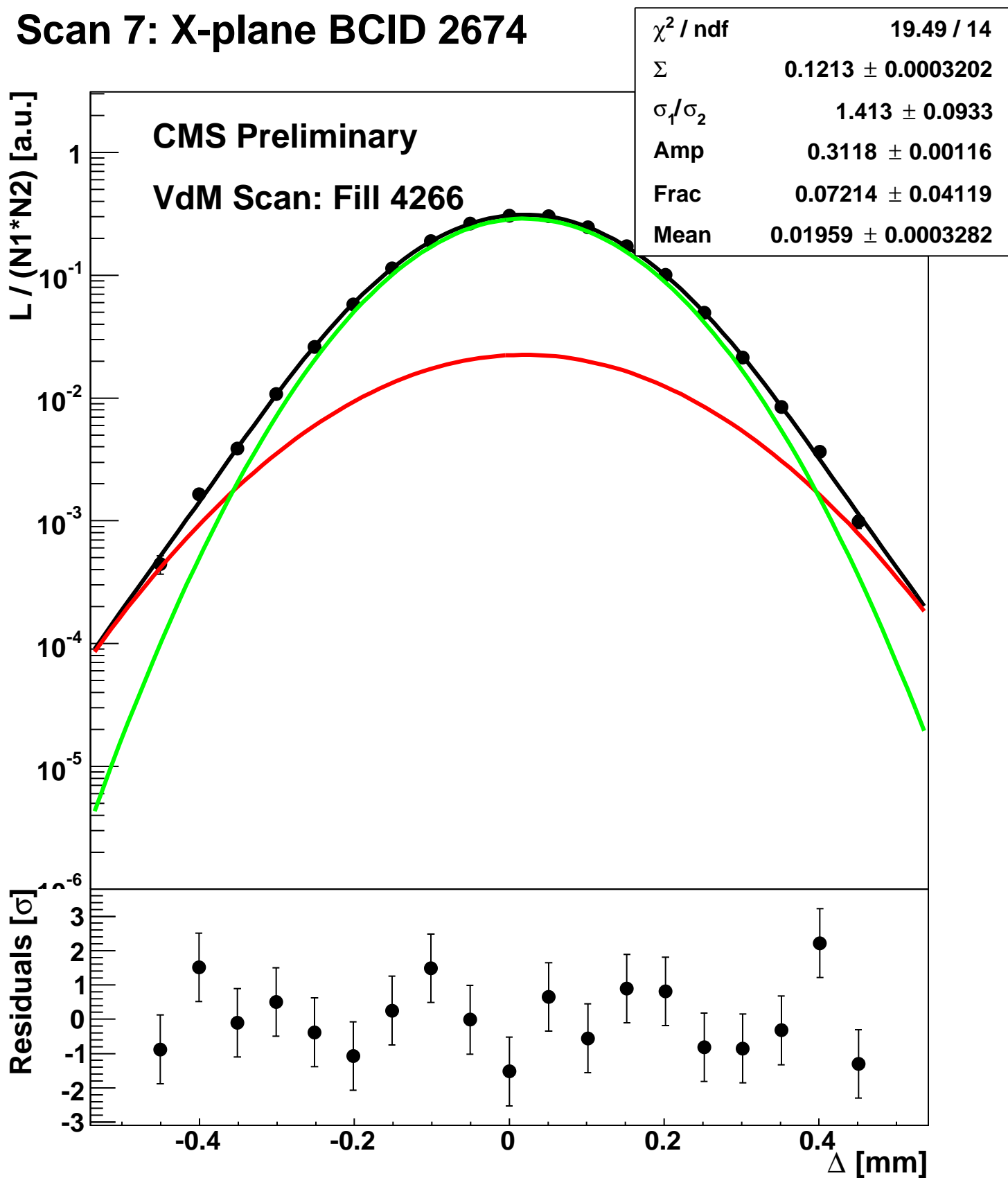
Scan 7: X-plane BCID 1631



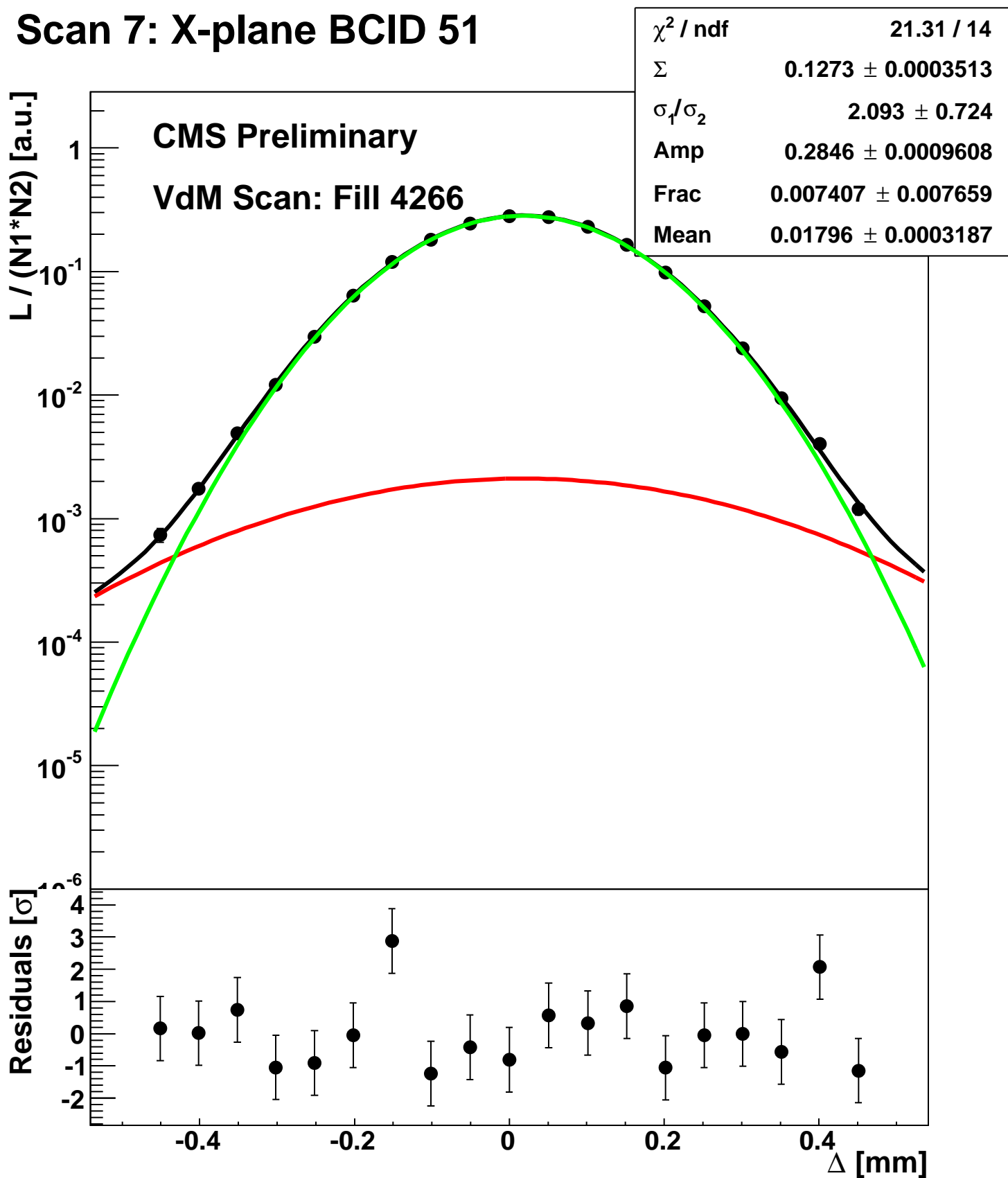
Scan 7: X-plane BCID 2211



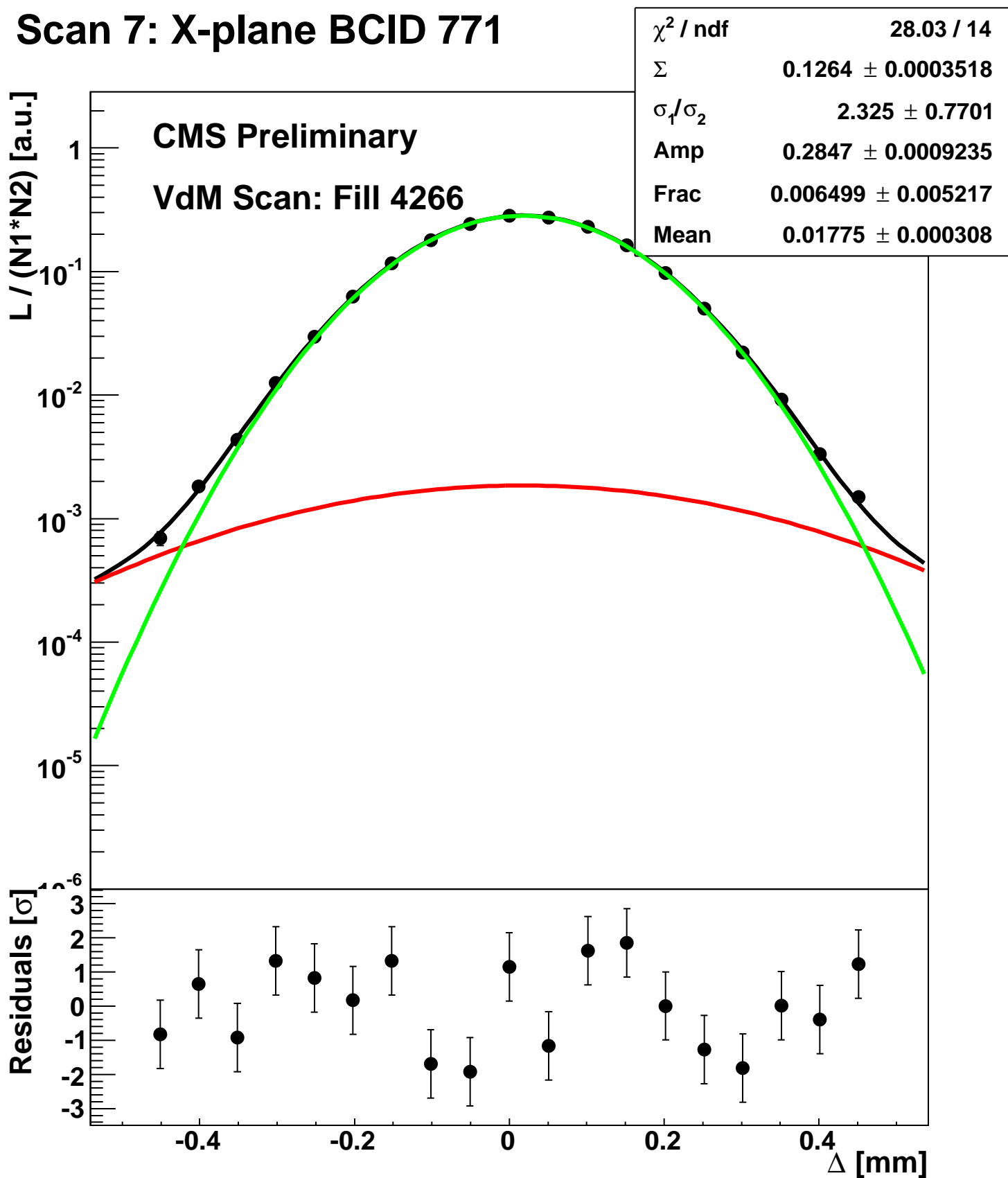
Scan 7: X-plane BCID 2674



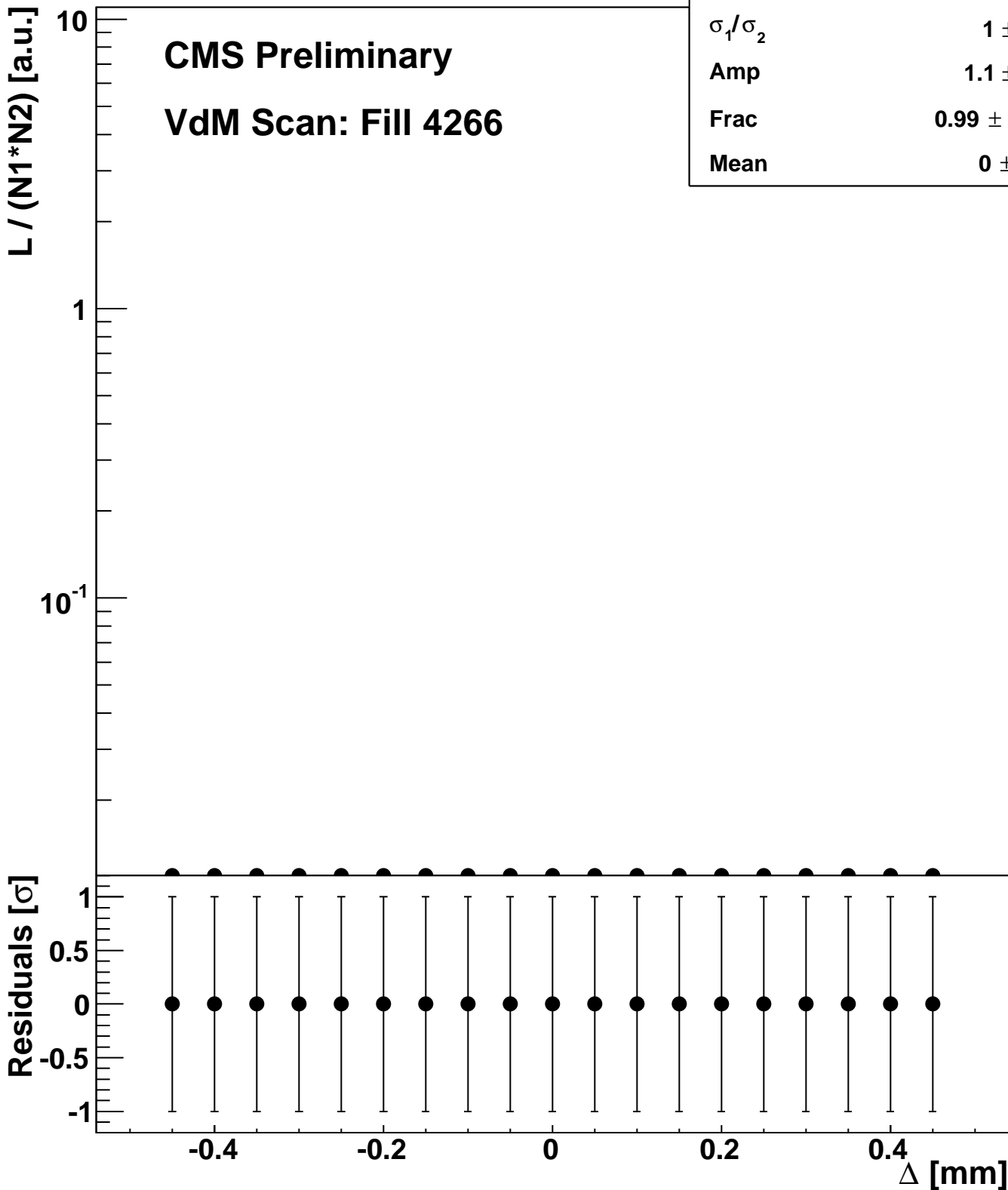
Scan 7: X-plane BCID 51



Scan 7: X-plane BCID 771

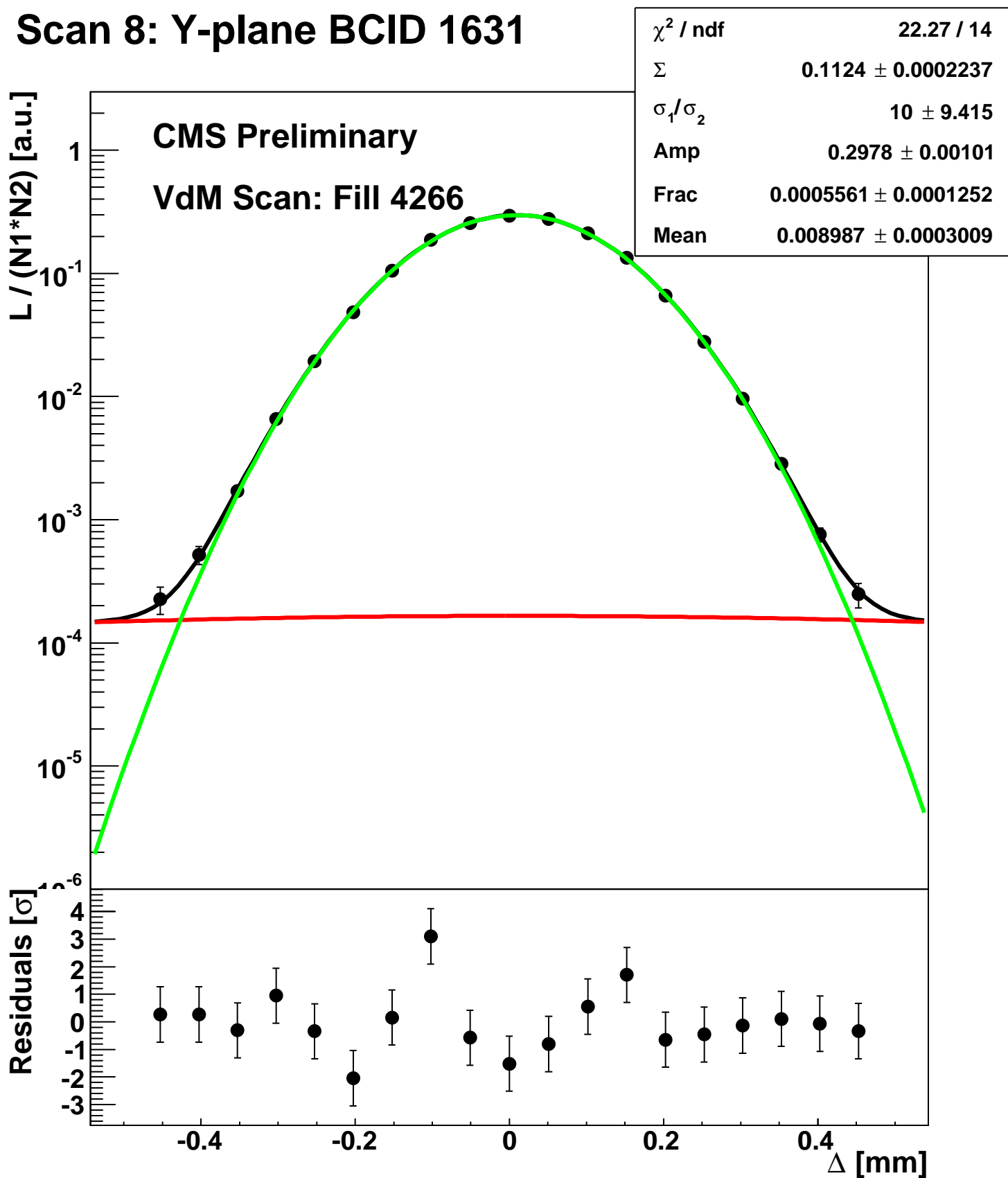


Scan 7: X-plane BCID sum

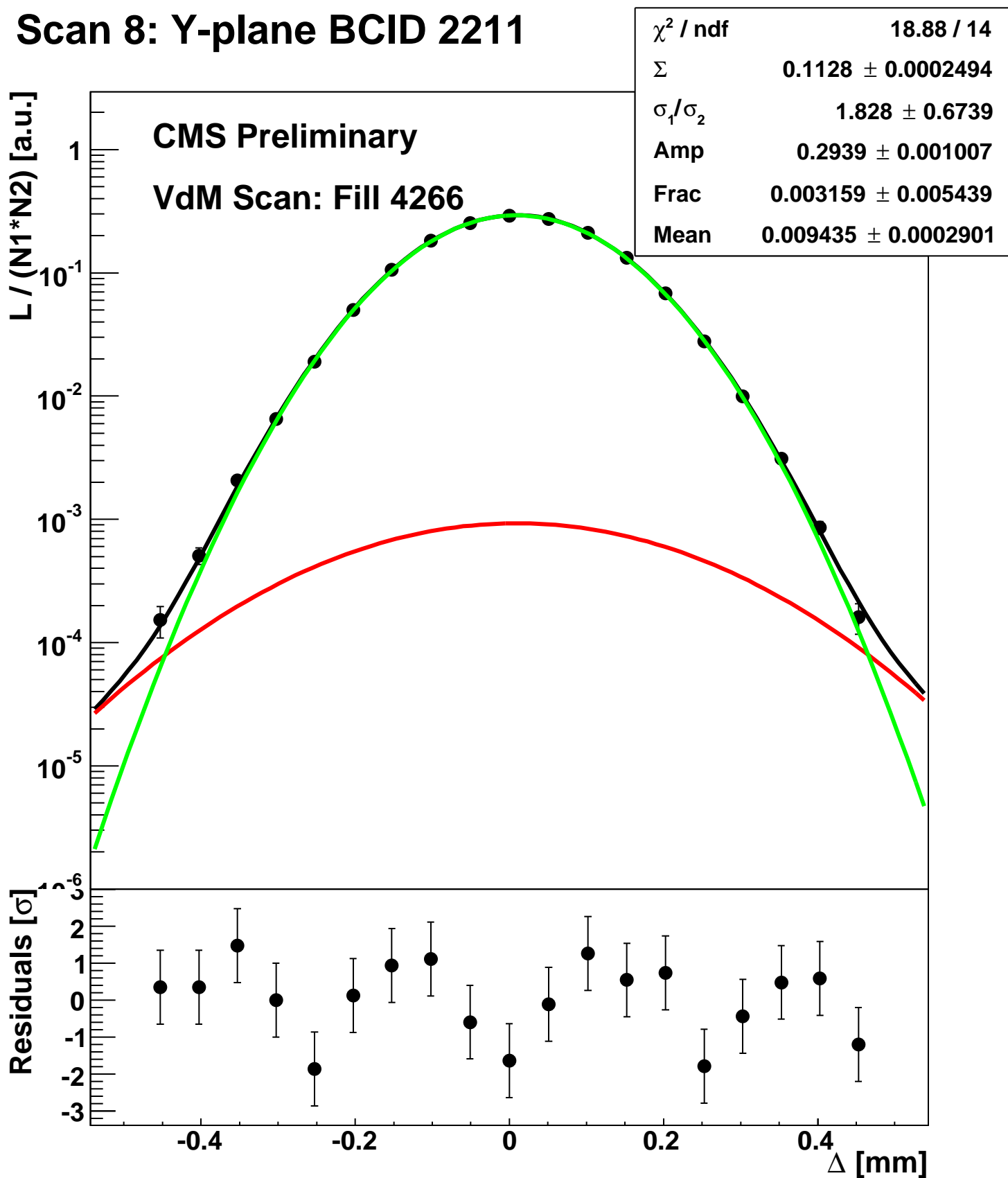


χ^2 / ndf	0 / 14
Σ	-1.062e-06 \pm 4.713e-05
σ_1 / σ_2	1 \pm 9.449
Amp	1.1 \pm 2.869
Frac	0.99 \pm 0.7559
Mean	0 \pm 1.414

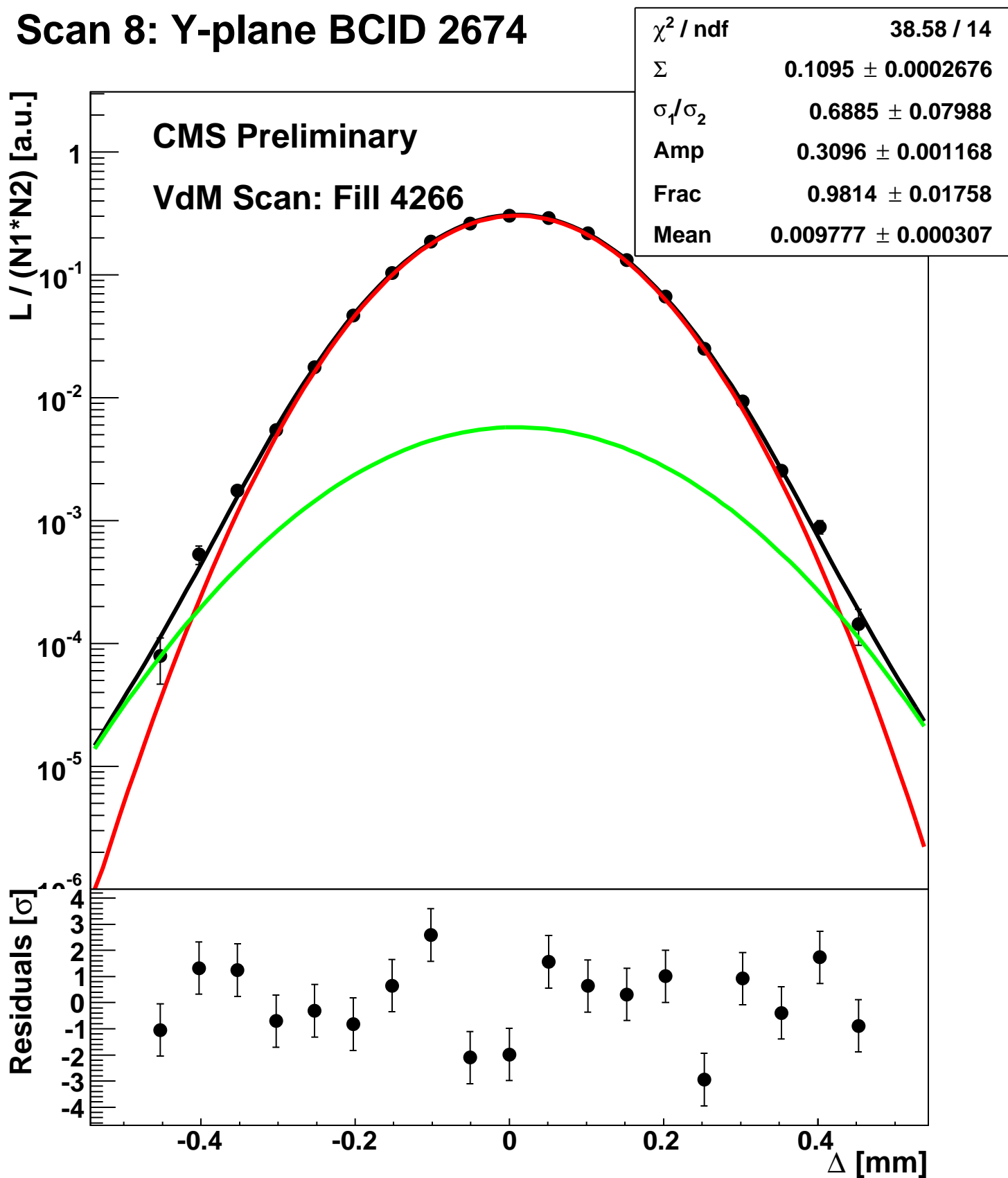
Scan 8: Y-plane BCID 1631



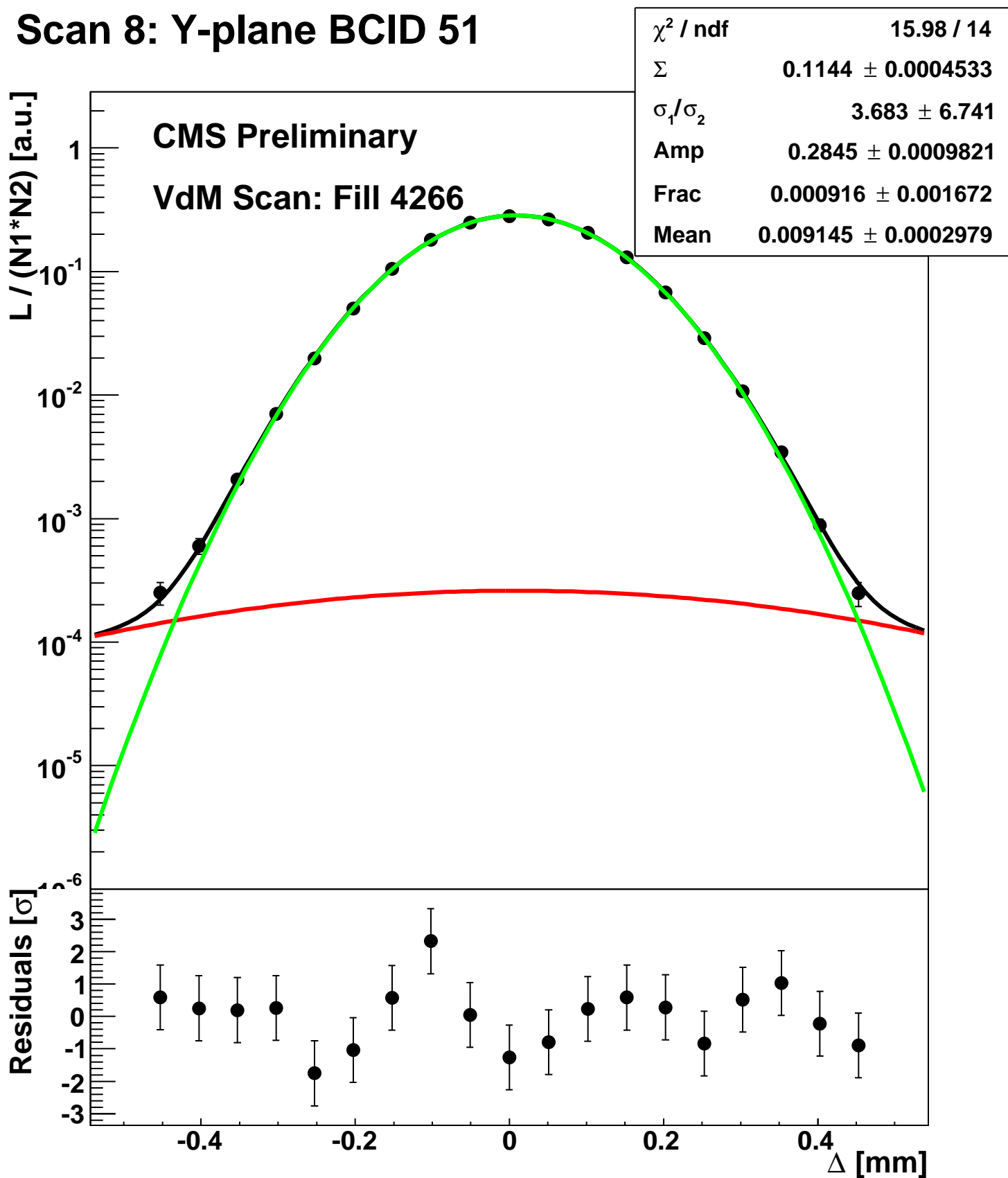
Scan 8: Y-plane BCID 2211



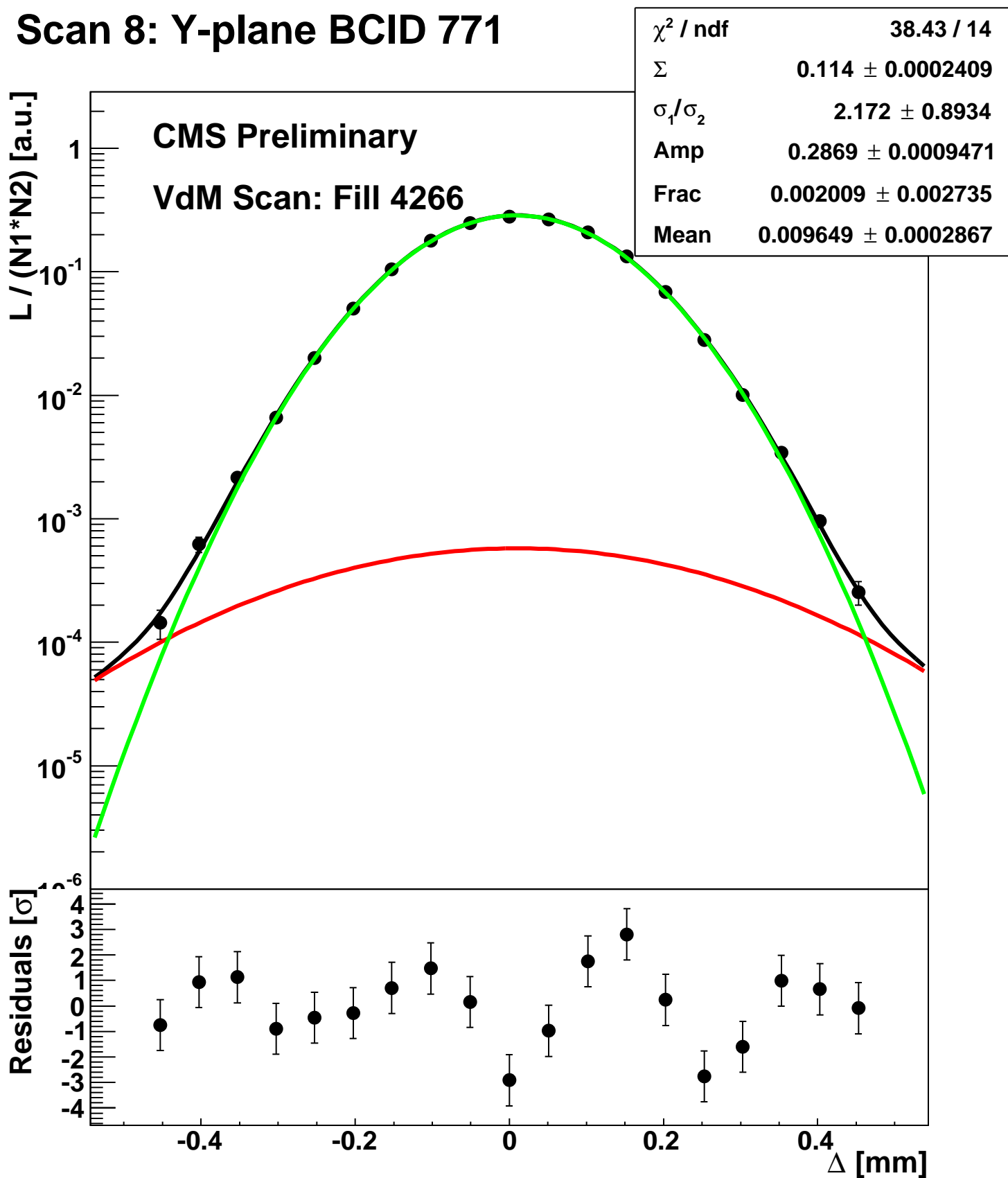
Scan 8: Y-plane BCID 2674



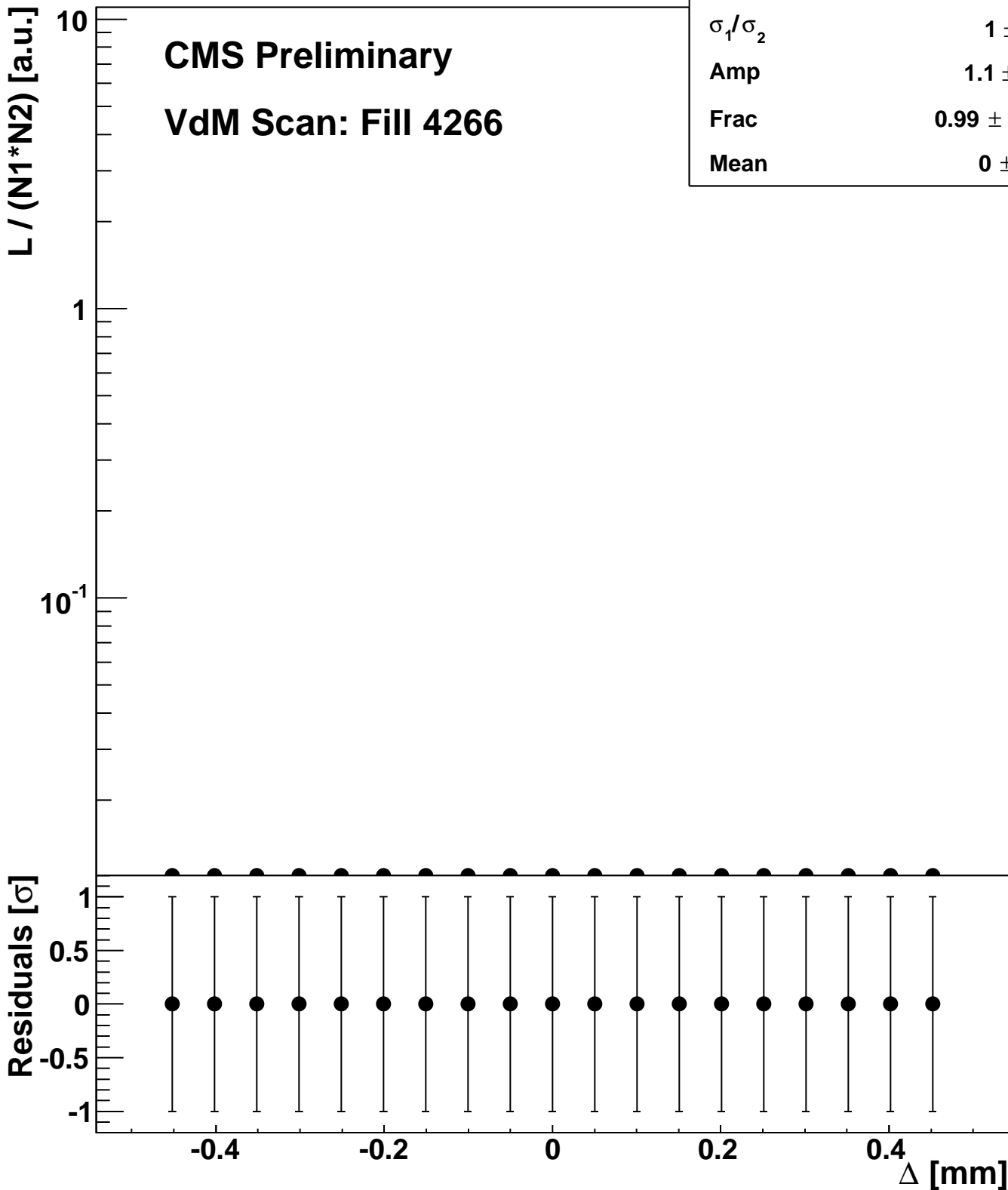
Scan 8: Y-plane BCID 51



Scan 8: Y-plane BCID 771

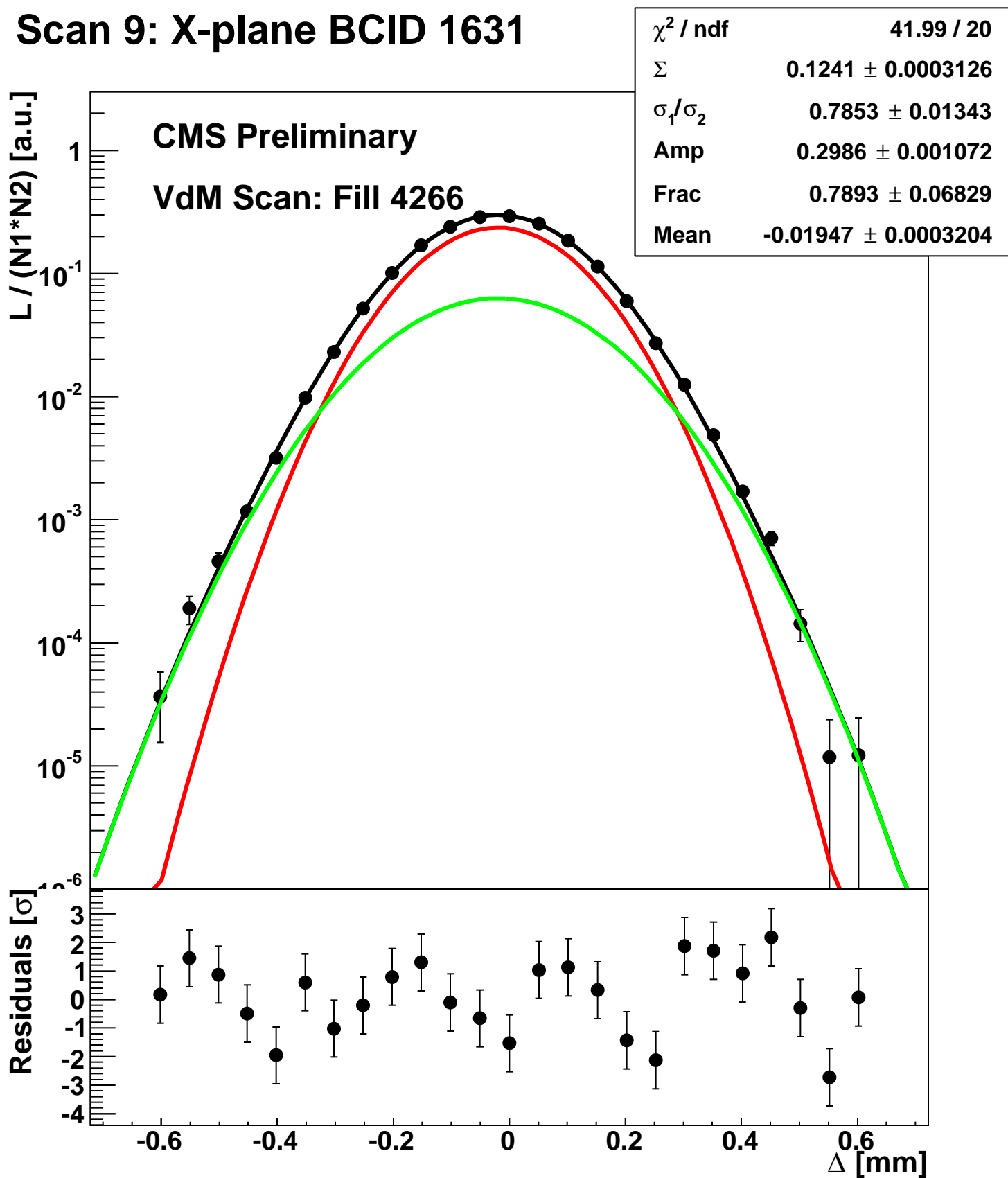


Scan 8: Y-plane BCID sum

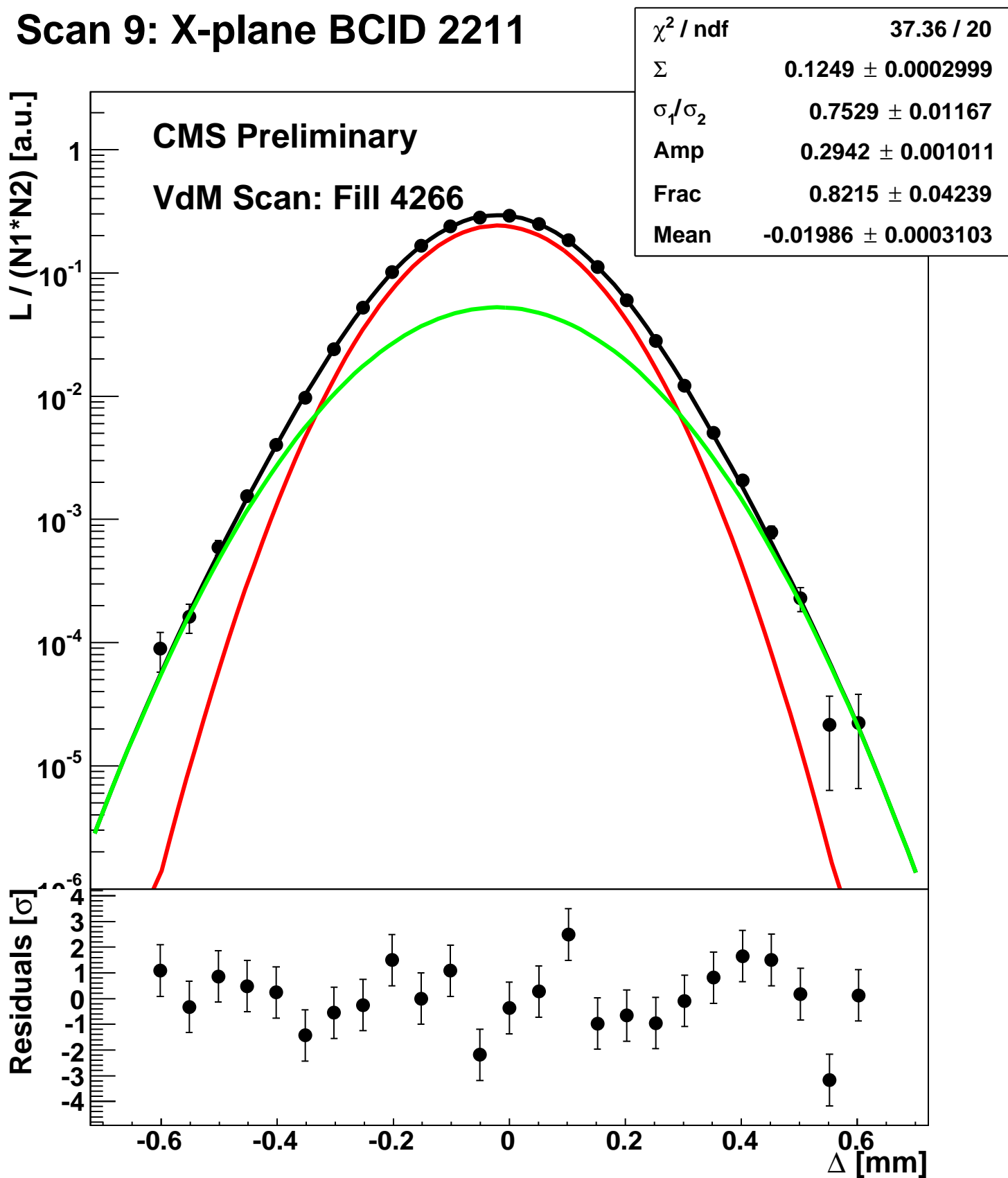


χ^2 / ndf	0 / 14
Σ	$-9.835\text{e-}07 \pm 5.277\text{e-}05$
σ_1 / σ_2	1 ± 5.251
Amp	1.1 ± 2.869
Frac	0.99 ± 0.7559
Mean	0 ± 1.414

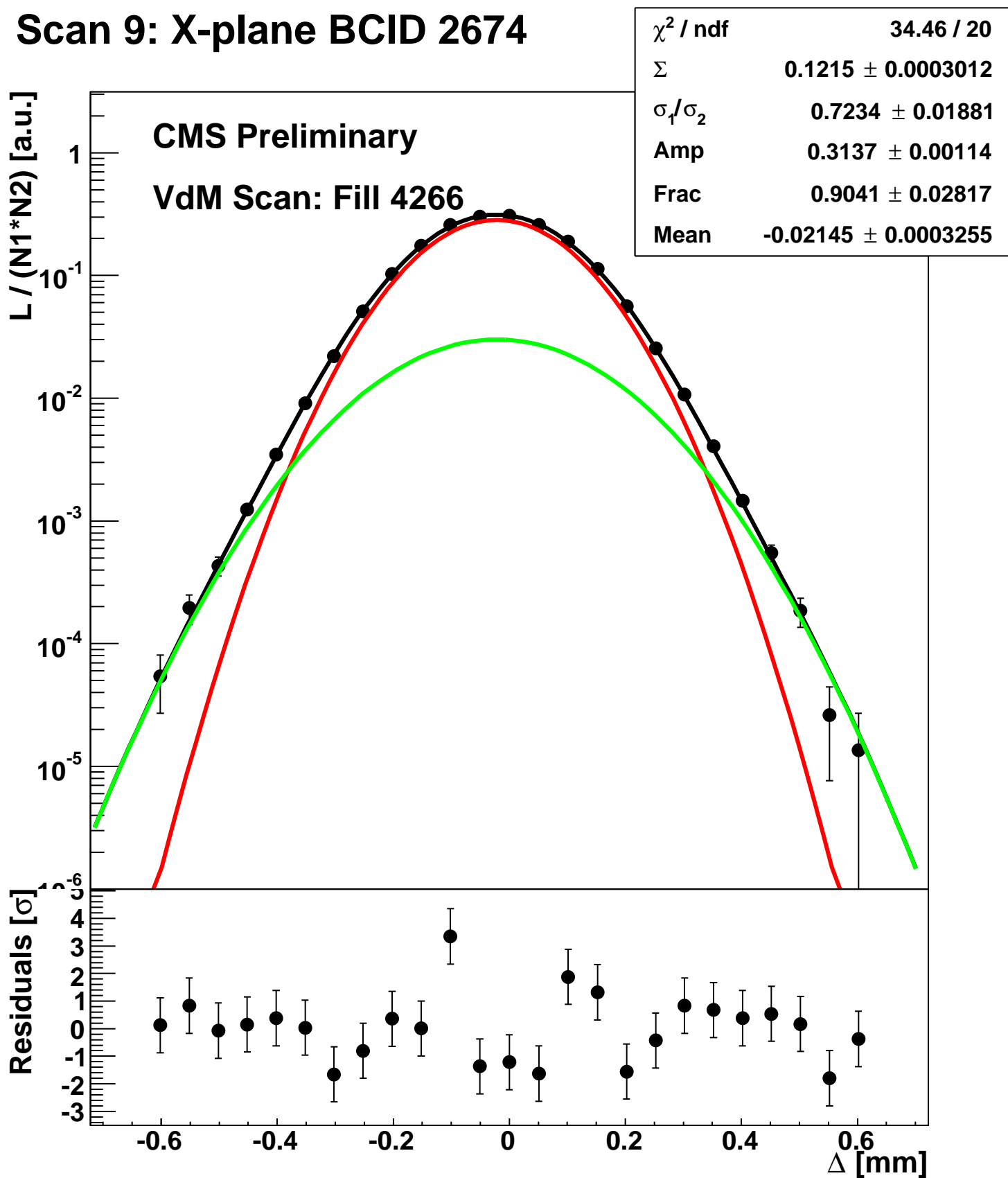
Scan 9: X-plane BCID 1631



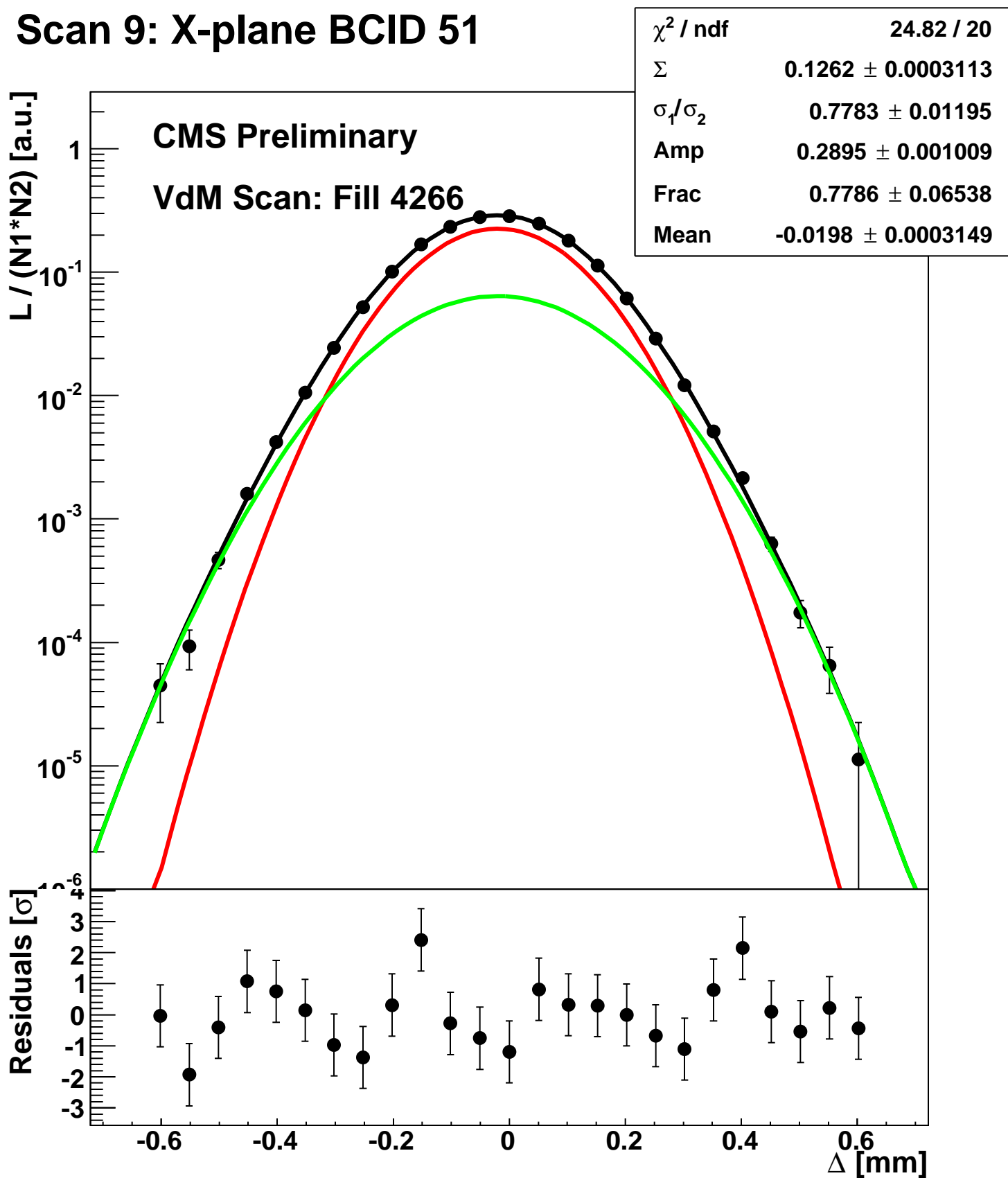
Scan 9: X-plane BCID 2211



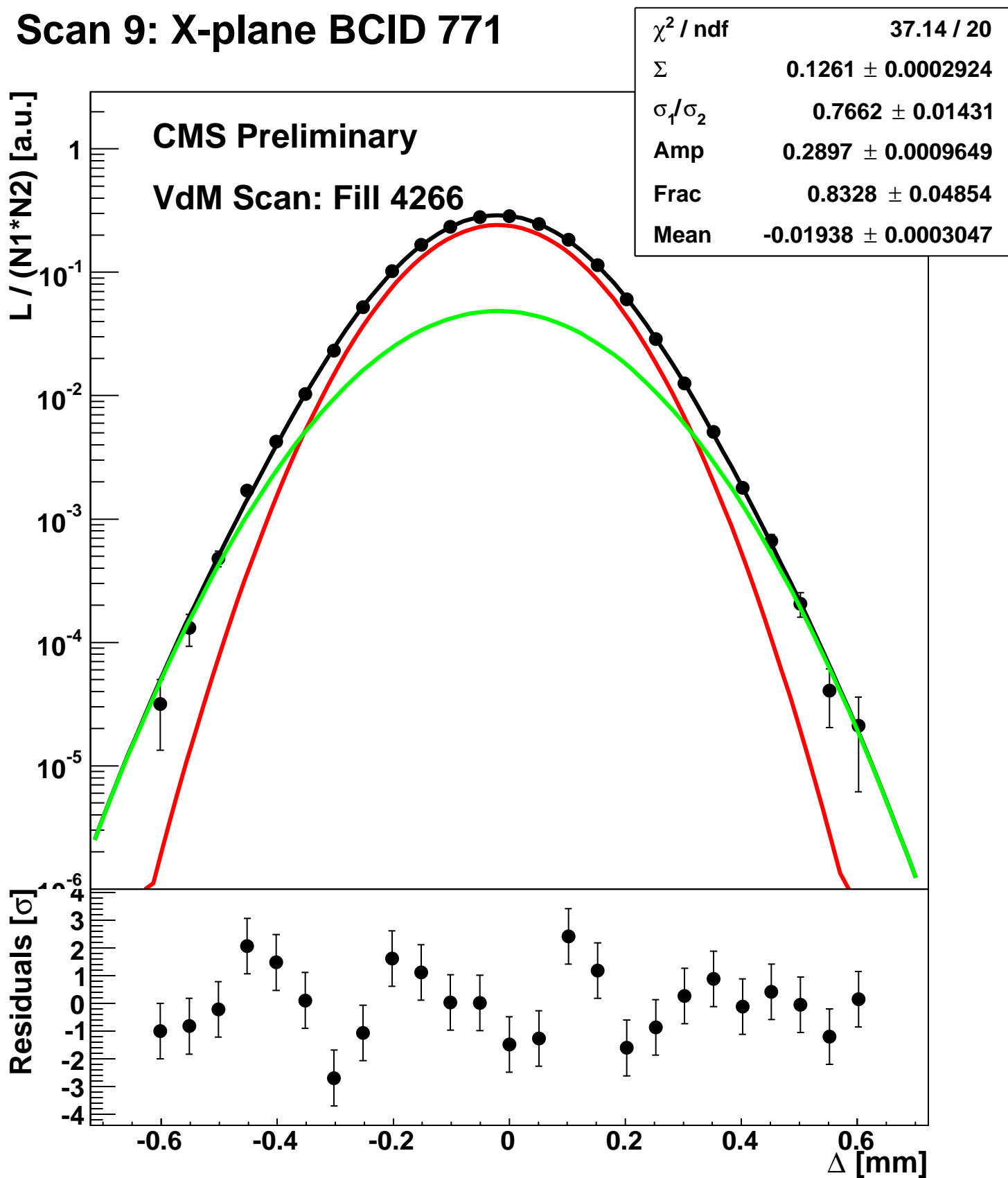
Scan 9: X-plane BCID 2674



Scan 9: X-plane BCID 51



Scan 9: X-plane BCID 771



Scan 9: X-plane BCID sum

